#### الجممورية الجزائرية الديمقراطية الشعبية

#### République Algérienne Démocratique et Populaire Ministère de l'Enseignement Supérieur et de la Recherche Scientifique Université Ibn Khaldoun-Tiaret-Faculté Sciences de la Nature et de la Vie Département de Biologie

Mémoire de fin d'études

#### En vue de l'obtention du diplôme de Master académique

Domaine : Sciences de la Nature et de la Vie

Filière: Sciences Biologiques

Spécialité : Infectiologie

Présenté par :

M<sup>lle</sup> AMOR Abir Aya M<sup>lle</sup> KHEDIM Chahinaze

#### Thème

Etude du portage nasale de *staphylococcus aureus* chez le cheval dans la région de Tiaret

Soutenu publiquement le .....

Jury: Grade
Président: M. ALI NEHARI Abdelkader M.C.A
Encadrant: M. MEKHLOUFI Omar Amine M.A.B
Co-encadrant: M<sup>lle</sup>. AIT ABDELKADER Sabrina Dr
Examinateur: M<sup>lle</sup>. LARADJ- ZAZOU Khalida M.C.B

Année universitaire 2023-2024

## Remerciements

On remercie avant tout, Dieu le tout puissant pour la volonté, la santé et la patience qu'il nous a donné durant toutes les longues années d'études afin qu'on puisse arriver là.

Nous tenons à témoigner toute notre reconnaissance aux personnes suivantes, pour leur aide dans la réalisation de ce mémoire :

Tout d'abord, ce travail n'aurait pas pu avoir le jour sans l'aide et l'encadrement de Mr Mekhloufi Omar Amine, on le remercie pour la qualité de son encadrement exceptionnel, pour sa patience, sa rigueur, sa disponibilité et surtout ses judicieux conseils. On ne vous remercie jamais assez.

Nous adressons nos sincères remerciements à tous les professeurs, intervenants et toutes les personnes qui par leurs paroles, leurs écrits, leurs conseils et leurs critiques ont guidé nos réflexions durant nos années d'étude.

Aux membres du jury Dr Ali Nehari Abdelkader et Dr Laradj-Zazou Khalida, pour l'intérêt qu'ils ont porté à notre recherche en acceptant d'examiner notre travail et de l'enrichir par leurs propositions.

Nous voudrons exprimer notre reconnaissance envers les amis et camarades qui nous ont apporté leur soutien moral et intellectuel tout au long de notre démarche.

Nos parents, nos frères et sœurs pour leur soutien constant et leurs encouragements.

# Dédicace

Je dédie ce travail;

A toi maman, à qui j'ai envie d'exprimer toute ma gratitude, toi qui m'a épaulé et aidé dans les pires moments. Merci d'avoir toujours cru en moi.

A ton âme papa, toi qui m'as appris la persévérance et la patience, aujourd'hui je le dis avec fierté cela n'est que le fruit de ton éducation, ta confiance et ton amour.

A vous, mon cher frère et mes chères sœurs (Bouchra et Fairouze), merci pour votre soutien et votre bienveillance.

A toi mon frère Azzedine et Abderrahmane, un grand merci pour vous.

#### A ma famille

A mon binôme et mon amie Chahinaze, et à tous mes amis qui ont fait de ma vie d'étudiante un énorme plaisir sur tous mes meilleurs amis (Marwa et Nadjet). Ainsi que toutes les personnes qui ont contribué de loin ou de près pour réaliser ce travail.

A mon promoteur Mr Mekhloufi, qui a été à la hauteur et qui excellait dans l'exercice de son métier et nous soutenait scientifiquement, pratiquement et moralement. Merci d'être un bel exemple pour nous, mes respects.

Abir

# Dédicace

Au nom d'Allah, le plus puissant et le plus grand merci lui revient de m'avoir aidé tout au long de mes années d'études.

Je dédie ce modeste travail accompagné d'un profond amour :

A mon très cher père, de tous les pères tu as toujours été le meilleur, tu n'as pas cessé de me soutenir et de m'épauler durant toutes mes années d'études notamment lors de la réalisation des prélèvements de mon mémoire, merci papa.

À la plus merveilleuse des mamans et mon enseignante, qui m'as toujours soutenu et m'as bénie par ses prières, merci d'être plus qu'une mère pour moi, ma confidente, mon amie, ma sœur, ma boussole quand je perds le nord, merci maman.

Aux personnes les plus chères de mon cœur, mes frères et mes sœurs. Je vous aime et je vous souhaite un avenir plein d'essor et de réussite. A tous ma famille Khedim

A mon binôme et amie Abir et ma meilleurs amie Sameh

A mon promoteur Mr Mekhloufi, qui a été à la hauteur et qui excellait dans l'exercice de son métier et nous soutenait scientifiquement, pratiquement et moralement. Merci d'être un bel exemple pour nous, mes respects

Chahinaze

#### Résumé

Les réservoirs naturels de *Staphylococcus aureus* sont la peau et les muqueuses de l'homme et des animaux à sang chaud. L'objectif de notre étude est l'isolement et l'identification des souches de *Staphylococcus aureus* dans le but d'étudier la prévalence du portage nasal de ce germe chez les chevaux de la région de Tiaret, ainsi que d'analyser le profil de résistance des souches isolées pour anticiper l'existence des SARM (*S. aureus* résistant à la méthicilline). Pour cela, nous avons réalisé 37 prélèvements nasaux à partir des chevaux de la région de Tiaret. On a isolé 23 souches supposées de *S. aureus* et elles ont été soumises à divers tests biochimiques afin d'identifier l'espèce de S. aureus. Nous avons pu confirmer 20 souches de *S. aureus*, ce qui représente une prévalence totale de 54,05%. Les résultats obtenus montrent l'existence des résistances avec des taux variables, selon les molécules d'antibiotiques testées. En effet, le taux de résistance le plus élevé a été observé vis-à-vis de la pénicilline (100%), la tétracycline (45%) et l'érythromycine (35%). Tandis qu'aucune résistance n'a été enregistrée à l'encontre des autres molécules, à savoir la céfoxitine et Quinupristin-dalfopristine. L'étude a révélé que 40% des isolats présentaient une résistance à un antibiotique, 40% à deux et 20% à plus de trois antibiotiques. La prévalence de SARM a été nulle dans tous les isolats.

**Mots clés :** S. aureus, portage nasal, résistances aux antibiotiques, SARM.

#### **Abstract**

#### Study of nasal carriage of Staphylococcus aureus in horses in the Tiaret region

The natural reservoirs of *Staphylococcus aureus* are the skin and mucous membranes of humans and warm-blooded animals. The aim of our study is to isolate and identify strains of *S. aureus* in order to study the prevalence of nasal carriage of this bacteriumin horses in Tiaret province, as well as to analyze the resistance profile of the isolated strains to anticipate the presence of MRSA (methicillin-resistant *S. aureus*). We conducted 37 nasal swabs from horses in Tiaret region. We isolated 23 presumed *S. aureus* strains which were subjected to various biochemical tests to identify the species. We further confirmed 20 *S. aureus* strains from 23 positive samples, representing an overall prevalence of 54.05%. The results obtained show the existence of resistance with varying rates, according to the antibiotic molecules tested. Indeed, the highest resistance rate was observed for penicillin (100%), tetracycline (45%), and erythromycin (35%), while no resistance was recorded against other molecules, namely cefoxitin and quinupristindalfopristin. The study revealed that 40% of the isolates showed resistance to one antibiotic, 40% to two, and 20% to three or more than three antibiotics. The prevalence of (MRSA) proved to be null in all isolates.

**Keywords:** S. aureus, nasal carriage, antibiotic resistance, MRSA.

#### دراسة النقل الأنفى للمكورات العنقودية الذهبية في الخيول بمنطقة تيارت

الخزانات الطبيعية للمكورات العنقودية الذهبية هي الجلد والأغشية المخاطية للإنسان والحيوانات ذوات الدم الحار. الهدف من دراستنا هو عزل وتحديد سلالات المكورات العنقودية الذهبية من أجل دراسة انتشار النقل الأنفي لهذه الجرثومة في الخيول من ولاية تيارت ، وكذلك تحليل ملف مقاومة السلالات المعزولة لتوقع وجود الجرثومة. لهذا ، أجرينا 37 خيول من منطقة تيارت. تم عزل 23 سلالة مفترضة من المكورات العنقودية الذهبية وخضعوا الاختبارات كيميائية حيوية مختلفة من أجل تحديد أنواع المكورات العنقودية الذهبية. لقد أكدنا أكثر من 20 سلالة من المكورات العنقودية الذهبية المؤكدة عينة إيجابية ، والتي تمثل انتشارا إجماليا بنسبة 54.05٪. تظهر النتائج التي تم الحصول عليها وجبمعداات متغيرة ، اعتمادا على جزيئات المضادات الحيوية التي تم اختبارها. في الواقع ، لوحظ أعلى معدل للمقاومة ضد البنسلين (100٪) ، التتراسيكلين (45٪) ، الاريثروميسين (35٪) بينما لم يتم تسجيل أي مقاومة ضد الجزيئات الأخرى ، وهي سيفوكسيتين وكينوبريستين دالفوبريستين ، كشفت الدراسة أن 40٪ من العز لات أظهرت مقاومة لمضاد حيوي واحد ،

40 ٪ إلى اثنين و 20 ٪ لأكثر من ثلاثة مضادات حيوية. وجد أن انتشار المكورات العنقودية الذهبية المقاومة للميثيسيلين

الكلمات المفتاحية: المكورات العنقودية الذهبية ، النقل الأنفى ، مقاومة المضادات الحيوية ، الجرثومة العنقودية الذهبية

هو معدوم في جميع العز لات.

### **SOMMAIRE**

#### **PARTIE BIBLIOGRAPHIQUE:**

#### <u>Chapitre I :</u> Généralité sur le staphylococcus aureus

I.1.Géneralité	6
I.2. Position taxonomique et classification	6
I.3. Habitat	7
I.4. Caractères bactériologiques	7
I.4.1.Caractères morphologiques	7
I.4.2 Caractères culturaux	
I.5.1. Composants de la paroi	9
I.5.1.1. Capsule	9
I.5.1.2. Peptidoglycane	9
I.5.2. Facteurs d'invasion et d'adhésion	10
I.5.2.1 Adhésines (MSCRAMMs)	10
I.5.2.2. La protéine A (spa)	10
I.5.2.3. Adhésines sécrétées (SERAMs)	10
I.5.3. Enzymes	11
I.5.3.1 Coagulase	11
I.5.3.2 DNase	11
I.5.3.4 Les lipases	11
I.5.3.5 L'Hyaluronidase	12
L6.Portage nasal	12

#### $\underline{\textbf{Chapitre II:}} \ \textbf{La résistance de } \textit{Staphylococcus aureus} \ \textbf{aux antibiotiques.}$

II.1.Origine de la résistance	15
II.2. Résistance naturelle	15
II.3. Résistance acquise	15
II.4.Mécanisme de résistances des bactéries aux antibiotiques	15
II.4.1. Inactivation enzymatique de l'antibiotique	16
II.4.2. Modification ou remplacement de la cible de l'antibiotique	16
II.4.3. Pompes à efflux	16
II.4.4. Protection de la cible de l'antibiotique	16
II.4.5. Piégeage de l'antibiotique	17
II.5. Mécanismes de résistance de <i>Staphylococcus aureus</i> vi s à vis de certains	
Antibiotiques	17
II.5.1. Résistance aux aux -lactamines	17
II.5.1.1. Résistance par production de bêta lactamases	17
II.5.1.2. Résistance par une proteine de liaison à la péniciline additionnelle	17
II.6. Staphylococcus aureus résistantes à la méticilline	17
<u>PARTIE EXPÉRIMENTALE</u>	
<u>Chapitre I</u> :: Matériel et méthodes	
I.1.Rappel des objectifs	21
I.2.Matériels	21
I.2.1. Matériels de laboratoire	21
I.2.2. Matériels de prélèvement	22

I.2.3. Matériel biologique	
I.3. Méthodes	
I.3.1 Durée et lieu de l'étude	
I.3.2 Natures et nombre de prélèvements	
I.4 Prélèvements	
I.4.1. Prélèvement nasal et enrichissement	
I.4.2. Transport des échantillons	
I.4.3. Analyses microbiologiques des prélèvements	
I.4.3.1. Isolement	
I.4.3.2. Purification des souches isolées	
I.4.3.3. Identification	
I.4.3.4. Antibiogramme	
I.4.3.5. Conservation des souches identifiées	
<u>Chapitre II</u> : Résultats et Discussion	
II.1. Résultats	
II.1.1.Prévalence de S. aureus	
II.1.2.Résistance des souches de S. aureus isolés aux antibiotiques32	
II.1.2.1.Profil d'antibiorésistance des souches de S. aureus isolés	
II.1.2.2.Profils multi-résistants des souches de S. aureus isolés	í
II.1.2.3. Prévalence de S. aureus résistant à la méthicilline (SARM)	
II.2. Discussion	
Conclusion	
Références	
Annexes53	

#### Liste des abréviations

**ADN** Acide désoxyribonucléique

ARN Acide ribonucléique

MSCRAMM microbial surface components recognizing adhesive matrix molecules

IgM Immunoglobulines de classe M

MLS Macrolides, Lincosamides, Streptogramines

PLP Protéines liant les pénicillines

PLP2a Protéine liant les pénicillines 2a

SARM Staphylococcus aureus résistantes à la méticilline

SASM Staphylococcus aureus sensibles à la méticilline

SCN Staphylocoques à coagulase négatif

SCP Staphylocoques à coagulase positive

**PG** Peptidoglycane

FnBPA,FnBPBles protéines de liaison SPA

Pn Polynucléaire

vWF Von facteur Willebrand

**SERAM** Surface Exposed Repeat Adhesin molecules

EMP Extracellular Matrix and Plasma binding protein

**EAP** Extracellular Adherence protein

MAP MHC class II analogous protein

**TNE** Extracellulaire neutrophiles

SNaSE Nucléase staphylococcique

CLSI The Clinical & Laboratory Standards Institute

#### Liste de figures

•	Figure 1: Image microscopique de Staphylococcus aureus	)8
•	Figure 2: Systéme agr de regulation des facteurs de virulences	09
•	Figure 3: Shémas général de mécanismes de résistances aux antibiotiques	15
•	Figure 4: Schéma récapitulatif de la méthodologie suivie pour la recherche et	
	l'identification de S.aureus	23
•	Figure 5: Écouvillonnage nasal chez le cheval	24
•	Figure 6: Coloration de Gram	31
•	Figure 7: Colonies pures du S.aureus sur milieux Chapman	31
•	Figure 8: Test de l'ADNase.	31
•	Figure 9: Test de catalase	31
•	Figure 10:Test Coagulase	32
•	Figure 11: Test de TSI	32
•	Figure 12: Test de Citrate	32
•	Figure 13: Test de mannitol et de mobilité	32
•	Figure 14: Test de l'urée indole	32
•	<b>Figure 15:</b> Profil de résistance de souche H08 et H02	35

#### Liste des tableaux

•	<b>Tableau I:</b> Liste des molécules d'antibiotiques testés sur les souches isolées	27
	<u>Tableau II</u> : prévalence de staphylococcus aureus	29
•	Tableau III: Taux de résistance des souches de S.aureus isolées aux	
	antibiotique	33
•	<u><b>Tableau IV</b></u> : Profil d'antibiorésistance des souches de <i>S.aureus</i> isolées	34
•	<u>Tableau V</u> : Phénotypes de souches multirésistante	35

#### **Introduction**

Staphylococcus aureus est un important pathogène bactérien opportuniste qui peut coloniser de manière asymptomatique aussi bien chez l'homme que chez divers animaux (Saei et Safari., 2019). Chez l'homme, S. aureus est un colonisateur courant de la peau, de la cavité nasale et d'autres membranes muqueuses (Wertheim et al., 2005; Agabou et al., 2017). Dans le domaine animal, S. aureus a communément colonisé les narines, les cavités nasales, la bouche et le périnée (Iverson et al., 2015; Agabou et al., 2017).

S. aureus désigne une bactérie infectieuse que l'on trouve chez les êtres humains et les animaux. Elle colonise principalement la peau et les muqueuses, notamment dans les voies nasales et respiratoires supérieures ainsi que dans le système digestif (Mulcahy et al., 2012).

S.aureus provoque une multitude d'infections. C'est le plus souvent présent dans les infections cutanées superficielles. Il arrive parfois que ces infections se compliquent en s'étendant localement, régionalement et en se propageant à travers le sang, ce qui peut entraîner des infections profondes et sévères, comme les ostéomyélites, les septicémies et les endocardites (Lina et Cattoir, 2014; Lowy, 1998). Les infections cutanées, les toxi-infections alimentaires, les mammites et les syndromes de choc toxique peuvent devenir des causes majeures de diverses affections, telles que la pneumonie, l'endocardite et le syndrome de choc toxique (Benito et al., 2015).

Le portage nasal de *Staphylococcus* joue un rôle majeur dans la pathogénicité des infections staphylococciques, notamment chez les patients hospitalisés, en particulier ceux qui subissent des procédures délicates telles que la chirurgie, la dialyse et les patients en unité de soins intensifs (USI) présentant des risques d'infection plus élevés chez les porteurs persistants (**Sakr** *et al.*, **2018**).

Les bêta-lactamases sont utilisées pour traiter les infections à staphylocoques, et les mécanismes de résistance ont évolué au fil du temps. Dans les années 1950, la résistance à la pénicilline G est apparue dans les hôpitaux, suivie de l'introduction de la méthicilline et de ses dérivés. En 1960, *S. aureus* résistant à la méthicilline (SARM) est apparu en Angleterre, qui s'est propagé de manière épidémiologique et endémique dans les hôpitaux en 1970. Un petit nombre de mêmes clones multirésistants, connus sous le nom de BRAS S'' Acquis à l'hôpital " (BRAS HAS), se sont propagés de manière épidémiologique dans les hôpitaux du monde entier (**Otter et French, 2010**).

S. aureus résistant à la méthicilline (SARM) est une souche de S. aureus qui résiste à presque tous les -lactamines et elle est souvent résistante aux antibiotiques autres que les -lactamines (**Fukunaga**et al., 2016). Cette réaction de résistance se produit en raison de l'activité de la protéine de liaison à la pénicilline codée par les gènes mecA et mecC situés sur le chromosome de la cassette staphylococcique mec (SCCMEC) (**Rahmaniar**et al., 2020).

Le SARM chez les animaux a été identifié pour la première fois chez des vaches laitières présentant des cas de mammite en 1972 (Gopal et Divya, 2017) suivi d'observations sporadiques d'infections à SARM chez divers animaux, y compris des infections à SARM identifiées pour la première fois chez les chevaux en 1989 (Khairullah et al., 2020). Depuis, les SARM chez les chevaux ont commencés à être considérés comme un problème de santé publique, bien que cette présence n'ait pas été largement rapportée (Anjum et al., 2019).

La propagation du SARM chez les chevaux est toujours considérée comme un risque pour la santé publique (**Mehndirattaet Bhalla**, **2014**). Il est donc important de comprendre la propagation de cette bactérie chez les chevaux afin que des stratégies de contrôle ultérieures puissent être mises en œuvre pour réduire le risque de propagation du SARM aux chevaux dans les fermes et les hôpitaux vétérinaires (**Bosch et Schouls**, **2015**)

Dans ce contexte, notre recherche vise à isoler et à identifier les souches de *S. aureus* afin d'étudier la fréquence du portage nasal de ce germe chez les cheveux de la région de Tiaret et

#### Introduction

d'évaluer la résistance des souches isolées à certaines molécules d'antibiotiques utilisées en médecine vétérinaire et humaine afin de prévoir la présence de *S. aureus* résistant à la méthiciline (SARM).

# PARTIE BIBLIOGRAPHIQUE

# Chapitre 1

# Généralités sur le *Staphylococcus* aureus

#### I.1 Généralités

Staphylococcus aureus est l'agent pathogène le plus fréquemment impliqué dans les infections cutanées dans le monde (GIUDICE, 2020). C'est aussi une bactérie commensale de la peau et des muqueuses (Abdullahi et al., 2023). Il est considéré comme une flore normale des mammifères. Chez l'homme, le nez et le pharynx sont des sites typiques de colonisation, avec le vestibule nasal comme réservoir principal (Drew et wiliam, 2018).

S. aureus peut provoquer toute une série de maladies, allant d'infections cutanées mineures, telles que boutons, impétigo, furoncles, cellulite, folliculite, anthrax, syndrome cutané échaudé et abcès, à des maladies potentiellement mortelles telles que pneumonie, méningite, ostéomyélite, endocardite, syndrome de choc toxique, bactériémie et septicémie (Shahin et Jamali, 2017).

L'épidémiologie de ce micro-organisme chez les animaux a suscité un intérêt ces dernières années, non seulement en raison de son importance en médecine vétérinaire en raison de l'augmentation des processus infectieux causés par ce pathogène (en particulier par les souches de *S. aureus* résistantes à la méthicilline (SARM)), mais aussi en raison de l'émergence de certaines lignées clonales associées aux animaux et de leur potentiel zoonotique de plus en plus démontré (Lozano et al., 2016).

#### I.2.Position taxonomique et classification

Staphylococcus aureus, également connu sous le nom de « staphylocoque doré, à Gram positif, est classé selon Gulzar et Asima, (2018) comme suit :

Règne: Bactéries

**Embranchement:** Firmicutes

Classe : Bacilles
Ordre : Bacillales

Famille: Staphylococcacées Genre: Staphylococcus

**Espèce**: Staphylococcusaureus

Le genre *Staphylococcus* comprend actuellement 81 espèces et sous espèces, et plusieurs espèces présentent une importance médicale et vétérinaire (**Andreas** *et al.*, **2019**).

Les autres staphylocoques à coagulase positive comprennent *S. intermedius*, *S. hics*, *S. pseudintermedius*, *S. lutera*, *S. chelifer* sous-espèce coagulants et *S. delphini* qui ont été principalement isolés chez les animaux ils ont aussi classifiés en six biotypes différents selon

leur source et leurs propriétés biochimiques humain, humain non hémolytique, bovin, ovin, aviaire et non spécifique (Asinamai, et al., 2018).

#### I.3.Habitat

Staphylococcus aureus est réputé pour sa capacité d'adaptation et sa résistance au stress, ce qui lui permet de survivre dans divers habitats environnementaux. On peut le retrouver sporadiquement dans des endroits variés tels que le sol, l'eau douce, le sable des plages, l'eau de mer et même à la surface des plantes. De manière concrète, il est également présent dans les poussières en suspension dans l'air et sur diverses surfaces. Cette ubiquité de *S. aureus* souligne sa nature opportuniste et sa capacité à coloniser un large éventail d'environnements (**Touaitia**, **2016**). Il se trouve également dans la flore humaine normale, située sur la peau et les muqueuses (le plus souvent la zone nasale) de la plupart des individus en bonne santé (**Elysia** *et al.*, **2021**).

Le réservoir naturel des staphylocoques est l'homme et les animaux à sang chaud. Sa niche écologique dominante est la partie antérieure du nez. Le taux de portage nasal chez les sujets sains varie entre 20% et 55% selon la population étudiée. Trois profils de portage nasal peuvent être distingués : environ 20% des sujets sains sont porteurs permanents, 60% sont des porteurs intermittents, et 20% ne sont pas porteurs. Ces profils peuvent changer dans le temps (**Touaitia**, **2016**).

#### I.4. Caractères bactériologiques

#### I.4.1. Caractères morphologiques

Staphylococcus aureus est une bactérie Gram-positive a la forme de cocci, isolés ou en amas (grappe de raisin) (Roger et al., 2019). Cette bactérie est non mobile, non sporulant, anaérobie facultatif, mesurant environ 1µM (Castro et al., 2018). Ces organismes peuvent se développer dans jusqu'à 10 % de sel et les colonies sont souvent dorées ou jaunes (Taylor et Unakal., 2023).

La bactérie forme des colonies dorées sur milieu riche et par hémolyse sur gélose au sang contenant 5% de sang de mouton ou de cheval en raison de la production de caroténoïdes et de hémolysine. Lors de la coloration de Gram, il apparaît sous la forme de colonies violettes ressemblant à du raisin car la division cellulaire se produit à différents plans (**Asinamai** *et al.*, **2018**).

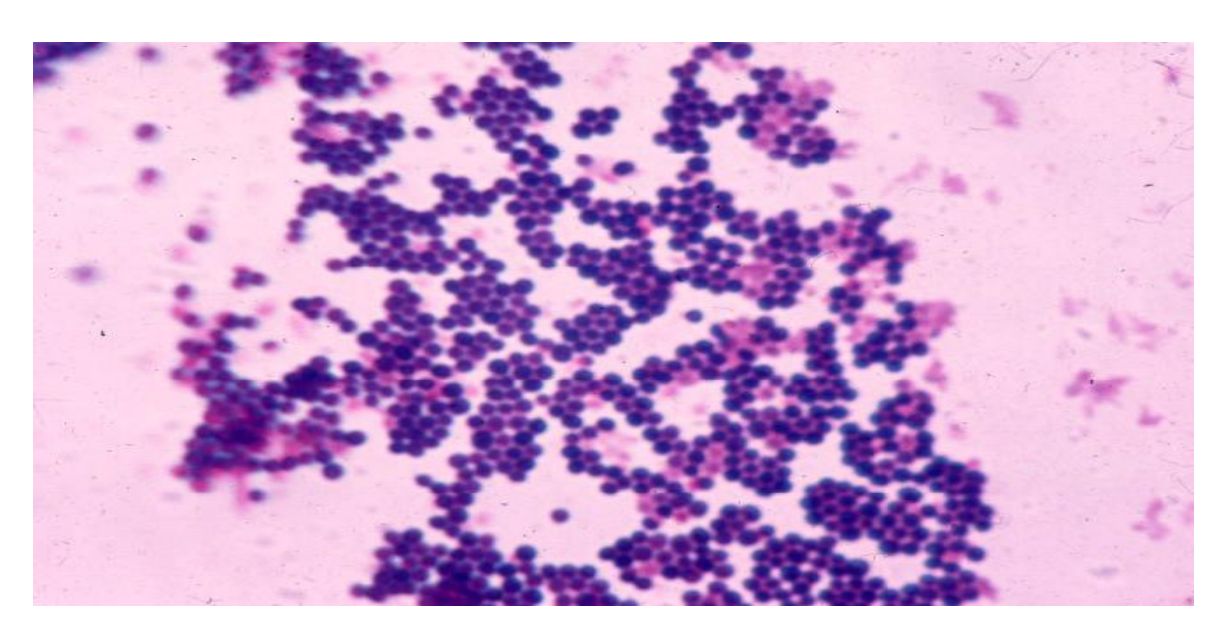


Figure 1: Image microscopique de Staphylococcus aureus (Shahin,et Mahsa., 2017).

#### I.4.2. Caractères culturaux

Staphylococcus aureus peuvent se développer en aérobie ou en anaérobie (facultatif) et à des températures comprises entre 18 et 40°C (Gulzar et Asima, 2018). Ils sont capables de faire une fermentation oxydative pour produire de l'énergie et de l'acide lactique (Asinamai et al., 2018).

S. aureus, est une bactérie halophile et mésophile. Cela signifie qu'elle peut survivre et se développer dans des environnements à teneur modérée en sel (halophile) et à des températures modérées (mésophile) (Valero et al., 2009). Les conditions optimales de croissance pour S. aureus se situent généralement entre 30 et 37 °C, avec un pH de 7,0 à 7,5, ce qui correspond à des conditions typiques du corps humain (Price-Whelan et al., 2013).

Le milieu de Chapman est en effet un milieu sélectif couramment utilisé pour l'isolement de *S. aureus* dans les échantillons cliniques. Il doit son caractère sélectif à sa teneur élevée en sel, généralement de 7,5% de NaCl (chlorure de sodium) (**Baur** *et al.*, **2014**).

#### I.5. Facteurs de virulence

Les infections à *S. aureus* proviennent généralement d'une colonisation asymptomatique ou, probablement et particulièrement en milieu hospitalier, de vecteurs passifs infectés ou d'un transfert depuis d'autres individus (**Gordon** *et al.*, **2021**).

Tous les mécanismes de virulence de Staphylococcus visent à augmenter la survie après que les bactéries ont dépassé la barrière épithéliale de la peau et des muqueuses (Gordon et al., 2023).

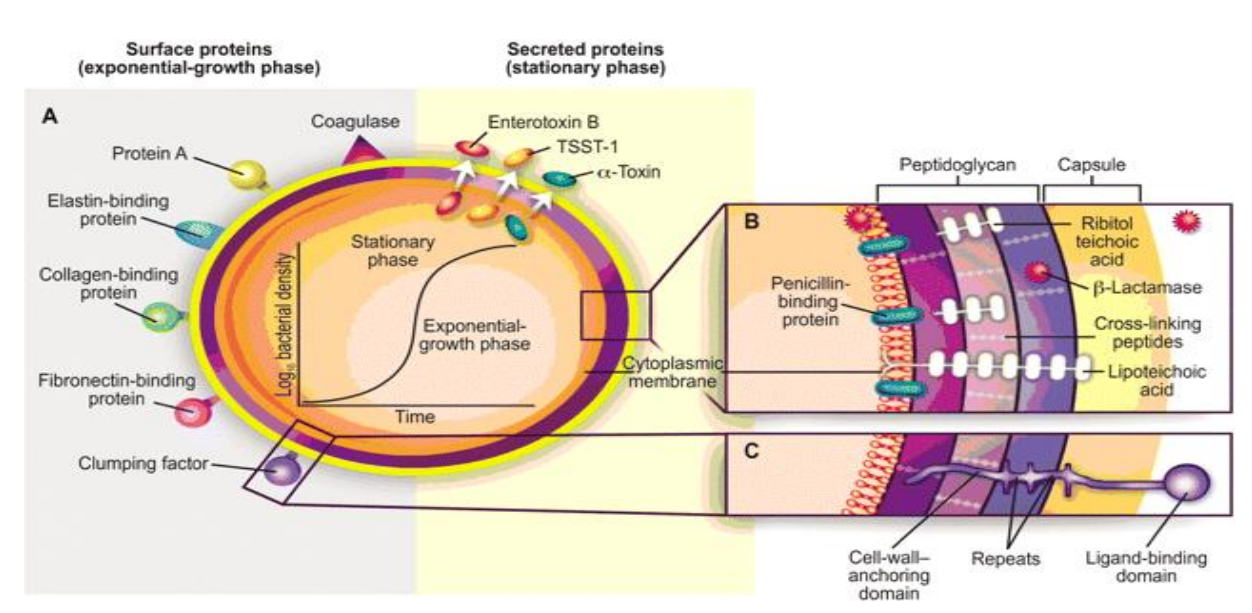


Figure 2: Système Agr de régulation des facteurs de virulence (Shahin, et Mahsa, 2017)

#### I.5.1. Composants de la paroi

#### **I.5.1.1.** Capsule

La capsule est retrouvée chez quelques souches de *S.aureus* qui aident à la résistance et la phagocytose (**Valour** *et al.*, **2015**). Elle facilite aussi l'adhésion de *S. aureus* aux cellules épithéliales, endothéliales et aux monocytes, ainsi que de l'induction de la sécrétion de cytokines inflammatoires telles que l'IL-1, l'IL-6, le TNF et l'IFN, et la chimiokine IL-8. Cette situation peut conduire à une réponse inflammatoire et à une augmentation de l'adhérence de *S. aureus*, ce qui peut être important dans le contexte des infections et de la pathologie associée à cette bactérie (**Accarias. 2014**).

#### I.5.1.2. Peptidoglycane

Le PG est constitué de chaînes de glycanes de différentes longueurs liées par des ponts peptidiques. Le PG staphylococcique mature peut être décrit comme un hydrogel poreux ressemblant à un maillage. Pour maintenir la morphologie et l'intégrité cellulaires pendant la croissance et la division cellulaire, les PG synthétases et les hydrolases travaillent ensemble pour incorporer de nouvelles PG dans le maillage existant et pour constituer la paroi transversale septale. Fait intéressant, en utilisant la microscopie à force atomique, il a été démontré que le septum des staphylocoques est constitué de deux types différents (Murray et al., 2020; Riedel et al., 2019).

Le peptidoglycane semble avoir plusieurs actions, y compris une activité chimiotactique sur les neutrophiles en stimulant l'activation de la cascade du complément. De plus, il semble stimuler la production de cytokines et de chimiokines pro-inflammatoires telles que le TNF, l'IL-1, l'IL-6 et l'IL-8, ainsi que des chimiokines comme CCL2, CCL3 et CCL4 par les monocytes et les macrophages (Accarias, 2014).

#### I.5.2. Facteurs d'invasion et d'adhésion

#### I.5.2.1. Adhésines « MSCRAMMs »

Les protéines de surface, dont beaucoup appartiennent àla famille "microbienne de surface des composants reconnaissant adhésif molécules de la matrice" (MSCRAMMs), faciliter l'adhésion aux tissus de l'hôte, et certains sont impliqués dans les abcès dans les organes (Gordon *et al.*, 2023).

Les MSCRAMM, ou "Microbial Surface Components Recognizing Adhesive Matrix Molecules", sont des protéines présentes chez plusieurs bactéries à Gram positif, y compris Staphylococcus aureus, S. pseudintermedius, les staphylocoques à coagulase négative, les streptocoques et les entérocoques. Chez S. aureus, on compte plus de vingt protéines MSCRAMM, mais le rôle spécifique de chacune d'entre elles n'a pas encore été entièrement élucidé. Parmi les exemples connus de protéines MSCRAMM, on trouve celles qui se lient au collagène, à la protéine de liaison de la fibronectine, telles que les protéines de liaison FnBPA et FnBPB (Josse et al., 2017).

#### I.5.2.2. La protéine A (spa)

Cette protéine est une IgG(Immunoglobuline G) de liaison de protéine qui se trouve sur la paroi cellulaire de *S.aureus*, qui est également connue comme staphylococcique de la Protéine A (SPA : Its production and applications). Elle peut aider la bactérie pour éviter la phagocytose par les leucocytes polynucléaires (Pn) via la capture d'IgG dans une inversion de l'orientation (**Mustafa** *et al.*, 2022).

#### I.5.2.3. Adhésines sécrétées « SERAMs»

SERAM (Surface-Exposed Repeat Adhesin Molecules) sont sécrétées par Staphylococcusaureus. Parmi ces protéines, deux importantes sont l'EAP (Extracellular Adherence Protein) et l'EMP (Extracellular Matrix and Plasma binding protein). L'EAP, également connue sous le nom de MAP (MHC class II analogous protein) ou P70, est une protéine multifonctionnelle de taille comprise entre 45 et 75 kDas. Elle est largement exprimée chez S. aureuset joue un rôle crucial dans l'adhésion à la paroi cellulaire et la capacité de S. aureusà coloniser et infecter les hôtes. De plus, elle peut se lier à plusieurs protéines de la

matrice extracellulaire telles que le fibrinogène, la fibronectine. Ellesemble impliquée dans la formation de biofilm, l'internalisation dans les cellules hôtes, l'évasion immunitaire et la pathogenèse de *S. aureus* (**Hirschhausen** *et al.*, **2012**).

#### I.5.3. Enzymes

#### I.5.3.1. Coagulase

La coagulase liée à la paroi cellulaire du staphylocoque peut convertir directement le fibrinogène en fibrine insoluble, ce qui provoque l'agglutination des staphylocoques. D'autre part, la coagulase libre accomplit le même résultat en réagissant avec un facteur plasmatique de type globuline (facteur réagissant à la coagulase) pour former de la staphylothrombine, un facteur similaire à la thrombine. La staphylothrombine catalyse alors la conversion du fibrinogène en fibrine insoluble. Le rôle exact de la coagulase dans la pathogenèse de la maladie est encore sujet à spéculation, mais il est suggéré qu'elle puisse contribuer à la formation d'une couche de fibrine autour d'un abcès staphylococcique. (Murray et al., 2020).

#### **I.5.3.2. DNase**

La DNase est un type de nucléase qui peut hydrolyser les liaisons phosphodiesters entre les nucléotides. La DNase peut détruire les pièges extracellulaires neutrophiles (TNE) en dégradant leur chromatine. Presque tous les PC produisent de la DNase, elle également connue sous le nom de nucléase staphylococcique (SNase). Elle est actif à la fois sur l'ADN et l'ARN. La plage de pH optimale se situe entre 8,6 et 10,3, et l'activité enzymatique varie inversement avec la concentration de Ca2+. Elle jouer un rôle dans la dissémination et la propagation de *S. aureus* en liquéfiant le pus (**Mustafa** *et al.*, 2022).

#### I.5.3.3. Les lipases

Les lipases sont des enzymes produites par certaines souches de *S. aureus* et plus de 30 % des souches de Staphylococcus Coagulase négative. Ces enzymes ont la capacité de dégrader les lipides, assurant ainsi la survie des staphylocoques dans les zones riches en sébum du corps. Les lipases sont des facteurs importants dans la virulence de ces bactéries et peuvent contribuer à leur capacité à coloniser et infecter l'hôte (**Kumar** *et al.*, **2021**).

#### I.5.3.4. L'Hyaluronidase

L'hyaluronidase est une enzyme produite par les staphylocoques qui participe à la propagation bactérienne en hydrolysant les acides hyaluroniques présents dans la matrice extracellulaire du

tissu conjonctif de l'hôte. Cette enzyme permet aux bactéries de pénétrer plus facilement dans les tissus et favorise leur dissémination (**Kumar** *et al.*, **2021**).

#### I.6. Portage nasal

Le "portage nasal" chez les équidés fait référence à la présence de micro-organismes, principalement des bactéries, dans les voies nasales de ces animaux sans provoquer de signes évidents de maladie (Mouton et al., 2016).

S. aureus représente un risque majeur pour l'être humain, mais entraîne également de véritables difficultés en médecine vétérinaire et en agriculture. Cette bactérie provoque des infections chez de nombreux animaux tels que le chat, le chien, le cheval, le cochon, le lapin, la volaille et les bovins (Weese et al., 2010).

Les infections chez les animaux sont, comme chez l'Homme, essentiellement des infections de la peau et des tissus mous, mais peuvent parfois être mortelles. Par exemple, dans les élevages bovins, *S. aureus* peut causer des infections de la glande mammaire, appelées mammites, qui peuvent être mortelles. En ce sens, il constitue la cause de 5 à 30% des cas cliniques et de 5 à 10% des cas subcliniques de mammites (**Penton, 2014**). Chez l'ovin, son rôle dans le développement des formes cliniques est encore plus important, car il est probablement le germe dominant, voire dominateur (**Bergonier, 2003**).

L'usage d'antibiotiques est nécessaire pour ces pathologies, ce qui entraîne leur libération dans l'environnement par les excréments des animaux d'élevage, ce qui accroît les risques d'apparition de souches résistantes dans l'environnement, ce qui pousse la médecine vétérinaire à défendre l'usage raisonné de l'antibiothérapie dans les élevages. Chez les bovins, comme chez l'Homme, on constate une différence de sensibilité à l'infection par *S. aureus*, ce qui laisse supposer une sélection génétique des individus naturellement résistants (**Bonnefont** *et al.*, **2012**).

En fin de compte, il a été prouvé que ces infections peuvent être transmises directement de l'animal à l'Homme en consommant du lait contaminé, par exemple (**Le Loir, 2003**) ou entre l'homme et l'animal, en particulier lors de la traite des bovins et dans les hôpitaux vétérinaires (**Morgan, 2008**).

# Chapitre 2

La résistance de *Staphylococcus* aux antibiotiques

#### II.1. Origine de la résistance

La résistance bactérienne aux antibiotiques aurait deux origines essentielles, naturelles et acquise. La première est programmée au niveau du génomique alors que la seconde est développée en fonction des conditions métaboliques (**Julian et Dorothy**, **2010**).

#### II.2. Résistance naturelle

C'est une résistance intrinsèque, commune à une population, due essentiellement à la présence de gènes spécifiques (**Allen** *et al.*, **2010**).

Elle se caractérise par des modifications structurales et métaboliques, dans le cas du bacille de la tuberculose insensible à un grand nombre d'antibiotiques en s'opposant à l'action des antibiotiques par le biais de son métabolisme original (Allen *et al.*, 2010).

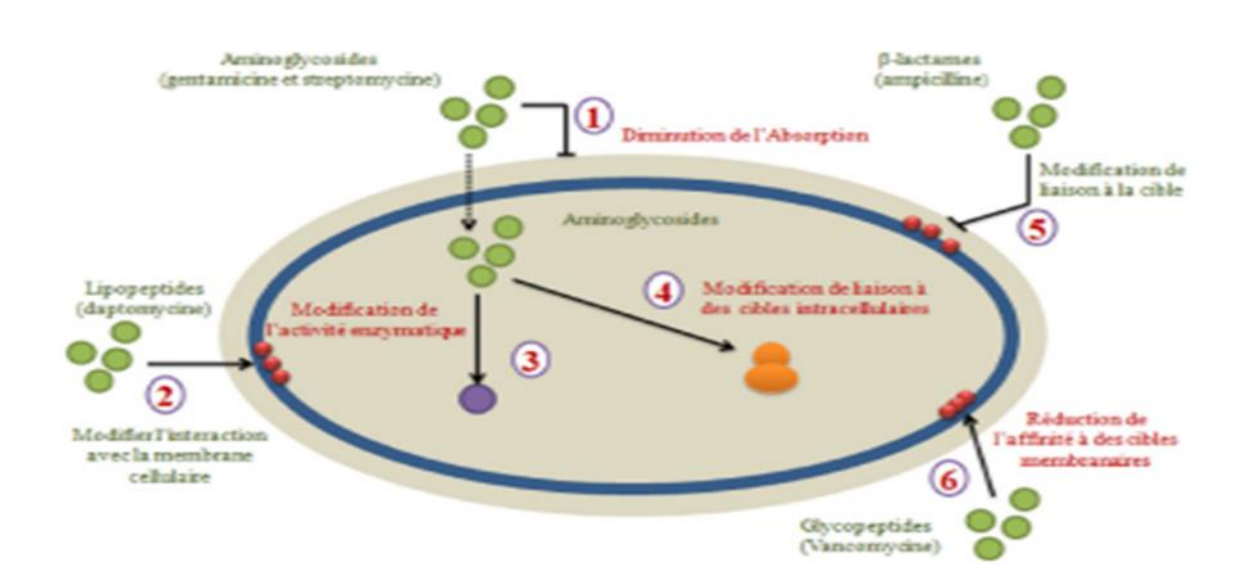
#### II.3. Résistance acquise

Elle est due à des modifications dans le profil d'expression génique via des mutations ponctuelles ou acquises. Grâce à ce processus, les bactéries partagent entre elles des informations génétiques, ce qui leur confère un très grand pouvoir d'adaptation aux milieux environnementaux qu'elles habitent (**Springman** *et al.*, **2009**).

#### II.4. Mécanismes de résistance aux antibiotiques

Les mécanismes de résistance aux antibiotiques ont été largement étudiés, et de nombreuses cibles des fonctions cellulaires ont été impliquées dans ces mécanismes (Giedraitiene et al., 2011).

Les sites de résistance sont variables entre les espèces bactériennes, et ils sont classés en plusieurs voies. Dans certains cas, au sein de la même souche bactérienne, on peut trouver plusieurs mécanismes de résistance différents (Marshall et al., 2009).



<u>Figure 3</u>: Schéma général des mécanismes de résistance aux antibiotiques (**Guardabassi et Courvalin**, 2006).

Les bactéries ont développé différents mécanismes afin de neutraliser l'action des agents antibactériens, les plus répandus étant l'inactivation enzymatique de l'antibiotique, la modification ou le remplacement de la cible de l'antimicrobien, l'efflux actif ou encore la pénétration réduite de la molécule. D'autres mécanismes tels que la protection ou la surproduction de la cible de l'antibiotique sont également décrits. Ils sont, cependant, plus rares et surtout associés à certaines classes de composés (Guardabassi et Courvalin, 2006).

#### II.4.1. Inactivation enzymatique de l'antibiotique

L'inactivation enzymatique de l'antibiotique est le principal mécanisme de résistance des bêtalactames, aminoglycosides et phénicoles. Les enzymes bactériennes catalysées en modifiant le noyau actif de l'antibiotique empêchent la fixation de l'antimicrobien sur sa cible et provoquent une perte d'activité. Les réactions biochimiques catalysées par ces enzymes sont généralement associées à des génétiques mobiles (Alekshun et Levy, 2007).

#### II.4.2. Modification ou remplacement de la cible de l'antibiotique

Les cibles antibiotiques peuvent être structurellement modifiées ou remplacées, empêchant le composé d'agir sur les bactéries. Ce mécanisme de résistance est crucial pour les résistances aux pénicillines, aux glycopeptides et aux molécules chez les bactéries Gram-positives et aux quinolones chez les bactéries Gram-positives et Gram négatives. Cette résistance peut être due à l'acquisition d'ADN génétiquement modifié ou à des mutations dans la séquence nucléotidique cible. (Nikaido, 2009).

#### II.4.3. Pompes à efflux

Les antibiotiques ne peuvent pas atteindre leur site d'action (efflux) en raison du rôle essentiel des transporteurs de médicaments dans les cellules bactériennes. L'exposition aux antibiotiques peut entraîner des mutations des transporteurs, augmentant la résistance. L'expérience d'autres antibiotiques peut également augmenter la résistance, comme la ciprofloxacine provoquant une résistance à la céphalosporine (Mandell et al., 2009; Yamashita et al., 2009).

#### II.4.4. Protection de la cible de l'antibiotique

ce modèle de résistance est connu pour les tétracyclines et plus récemment pour les quinolones et les fluoroquinolones. Il s'agit de huit protéines ribosomales qui provoquent une résistance en créant un encombrement statique au niveau du ribosome. Des résistances sub-cliniques aux fluoroquinolones ont été observées en raison de la présence de gènes plasmidiques *qnr*, qui réduisent l'affinité des antibiotiques pour leurs cibles (Robiczek *et al.*, 2006 ; Cavaco *et al.*, 2009 ; Wang *et al.*, 2009).

#### II.4.5. Piégeage de l'antibiotique

Les bactéries sont capables de piéger un antibiotique en augmentant la production de sa cible ou en produisant une autre molécule possédant une affinité pour ce dernier. Il en résulte une diminution de l'antibiotique à l'état libre au niveau de la cible. Ainsi des mutations chromosomiques responsables d'une surproduction des cibles des sulfamidés et triméthoprimes ont été décrites chez de nombreuses espèces bactériennes. Ce mécanisme est également impliqué dans des bas niveaux de résistance aux glycopeptides chez certaines souches de *S. aureus*, et à la tobramycine chez *Escherichia coli* (**Guardabassi et Courvalin, 2006**).

### II.5. Mécanismes de résistance de *Staphylococcus aureus* vis-à-vis de certains Antibiotiques

#### II.5.1. Résistance aux -lactamines

Les -lactamines ciblent la paroi bactérienne et entravent la synthèse de peptidoglycane à la dernière étape, en particulier les protéines liant la pénicilline (PLP). Les protéines à activité enzymatique (principalement des transpeptidases) sont des protéines qui participent à la formation de la paroi (**Pinho** et al., 2000).

#### II.5.1.1. Résistance par production de bêta lactamases

La bêta-lactamase est une enzyme qui hydrolyse le cycle bêta-lactame de la pénicilline enles rendant inactifs. Il provoque une résistance à la pénicilline G, A, carboxy et uréidopénicillines, présentes dans 90% des isolats cliniques du SRAS. Les bêta-lactamases peuvent être constitutives ou inductibles (Mainardi et al..1996).

#### II.5.1.2. Résistance par une protéine de liaison à la pénicilline additionnelle

Les PLP sont des protéines possédant une activité enzymatique (transpeptidases, carboxypeptidases ou glycosyltransférases) impliquée dans la synthèse de la paroi bactérienne et possédant une affinité pour les bétas lactamines. La résistance à la méthicilline, qui entraîne une résistance à toutes les bêta lactamines, est déterminée par la présence d'un gène chromosomique (*mecA*) qui code pour la PLP2a. Cette PLP additionnelle a moins d'affinité pour les betas lactamines et en particulier pour la méthicilline (**Tomas** *et al.*, **1993**).

Staphylococcus aureus (SARM) présente une résistance à la méthicilline due à la régulation de gène *mecA*, principalement dépendante des gènes *mecI* et *mercR*. La résistance peut être homogène ou hétérogène. (**Tomas** *et al.*, **1993**).

#### II.6. Staphylococcus aureus résistantes à la méthicilline (SARM)

L'acronyme SARM signifie *Staphylococcus* S. *aureus* résistant à la méthicilline. *S. aureus* qui colonise la peau et les muqueuses de l'homme et de l'animal (**Cohn** *et al.*, **2010**).

Dans des conditions défavorables (par ex. plaie, opération), ces *S. aureus* peuvent toutefois provoquer des infections des plaies ou du sang. Les SARM se distinguent par leur insensibilité (résistance) à un grand groupe d'antibiotiques, dont font partie les pénicillines et les céphalosporines. Ces agents infectieux présentent également très souvent d'autres résistances et les infections qu'ils provoquent s'avèrent par conséquent difficiles à traiter (**Peacock** *et al.*, **2015**).

Le SARM chez les animaux a été identifié pour la première fois chez des vaches laitières avec des cas de mammite en 1972 (Gopal, et Divya, (2017), suivi d'observations sporadiques d'infections à SARM chez divers animaux, y compris des infections à SARM identifiées pour la première fois chez les chevaux en 1989 (Anzai, et al., 1996), qui ont finalement commencé à se développer le SARM connu qui survient chez le bétail (Khairullah et al., 2022; Harijani, et al., 2020) et les animaux de compagnie (Decline et al., 2020; Yunita et al., 2020) est connu sous le nom de SARM associé au bétail (LA-MRSA) (Khairullah et al., 2020).

De nombreux animaux d'élevage à travers l'Europe, l'Amérique du Nord et l'Asie se sont avérés porteurs de la souche LA-MRSA avec le complexe clonal 398 (CC398) (McCarthy et al., 2012). De plus, depuis que le premier SARM LA chez les chevaux a été découvert en 1989 (Turner et al., 2019), l'émergence récente du LA-SARM CC398 a été identifiée dans les populations équines. LA-SARM commence à être considérée comme une souche bactérienne pathogène importante chez les chevaux, ce qui peut provoquer une infection et une colonisation du LA-MRSA chez l'homme (Crespo et Lawlor, 2021).

# PARTIE EXPÉRIMENTALE

### Matériels et méthodes

#### I.1.Rappel des objectifs

L'objectif de notre étude est l'isolement et l'identification des souches de *Staphylococcus* aureus dans le but d'étudier la prévalence du portage nasal de ce germe chez les chevaux de la région de Tiaret.

Ainsi que la détermination du profil de résistance des souches isolées vis-à-vis de quelques molécules d'antibiotiques utilisées en médecine vétérinaire et humaine, et ceci dans le but de prévoir la présence de souches de *S. aureus* résistants à la méthicilline (SARM).

#### I.2. Matériels

#### I.2.1. Matériels de laboratoire

#### > <u>Équipements</u>

Autoclave (pbi international, Milano)

Balance électronique (Denver instrument, USA)

Bec Bunsen

Etuve microbiologique (Memmert, Germany)

Spectrophotomètre (Medline, United Kingdom)

Vortex (Heidolph, Germany)

#### > Verrerie et outils

Boîtes de Pétri, tubes à essai, pipettes Pasteur, anse à boucle, micropipettes, spatules, béchers, cuves de spectrophotomètre, flacons en verre, pince bactériologique, écouvillons, seringues, portoirs.

#### Milieux de culture et réactifs

Plasma de lapin

HCl 2N

Peroxyde d'hydrogène (H<sub>2</sub>O<sub>2</sub>)

Eau physiologique stérile

Eau distillée stérile

Glycérol

Gélose Mueller-Hinton (TM MEDIA)

Gélose à ADN (Conda Pronadisa, Espagne)

Gélose BHIA (Conda Pronadisa, Espagne)

Gélose de Chapman (Liofilchem srl, Italy)

Bouillon BHIB (Conda Pronadisa, Espagne)

Disques d'antibiotiques (bio\_Discs, bioMérieux, France)

#### I.2.2. Matériels de prélèvement

Gants chirurgicaux

Ecouvillons

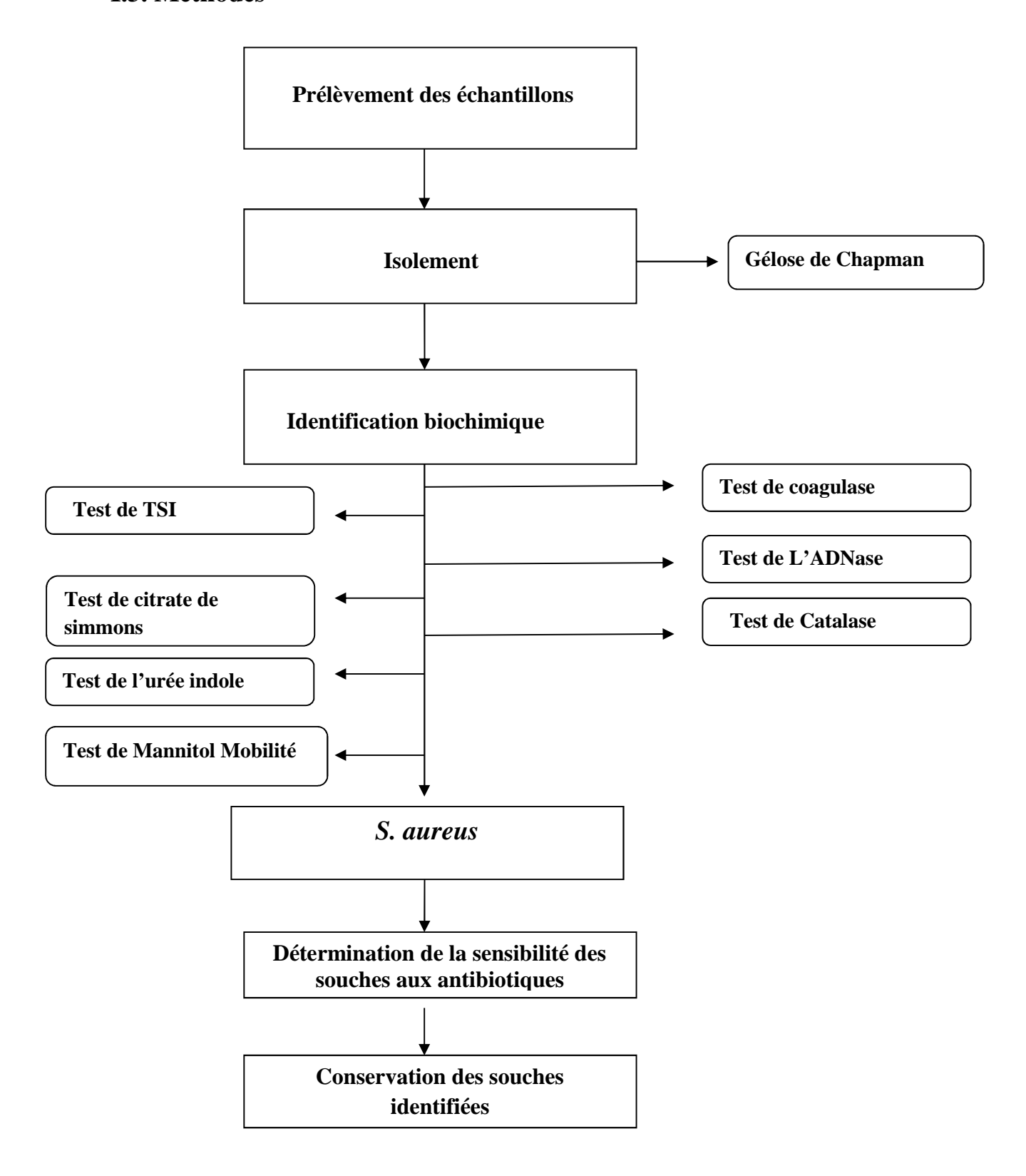
Tubes à essai

Glacière

#### I.2.3. Matériels biologiques

- Souches de référence : S. aureus ATCC 25923 (témoin positif).

#### I.3. Méthodes



<u>Figure 4:</u>Schéma récapitulatif de la méthodologie suivie pour la recherche et l'identification de *S. aureus*.

#### I.3.1. Durée et lieu de l'étude

Notre étude a été réalisée durant la période allant du 13 février au 07 mars 2024, au niveau du laboratoire de Microbiologie de la faculté des sciences de la nature et de la vie - université Ibn Khaldoun de Tiaret.

#### I.3.2. Nature et nombre de prélèvements

Au cours de notre étude, 37 échantillons ont été prélevés dans différente élevages équins dans la région de Tiaret.

#### I.4. Prélèvement

#### I.4.1. Prélèvement nasal et enrichissement

Les prélèvements nasaux chez les chevaux ont été effectués à l'aide des écouvillons, en suivant les étapes suivantes :

Laver les mains;

Contentionner l'animal;

Introduire délicatement l'écouvillon dans l'une des deux narines de l'animal et l'insérer à une distance de 10 cm pour atteindre la cavité nasale et recueillir les sécrétions nasales en effectuant des mouvements rotatoires, avant le retrait de l'écouvillon;

Étiqueter les écouvillons.

Placer les tubes dans une glacière.



Figure 5: Écouvillonnage nasal chez le cheval.

#### I.4.2. Transport des échantillons

Le transport des échantillons s'est effectué dans une glacière pour assurer leur conservation jusqu'au laboratoire.

#### I.4.3. Analyses microbiologiques des prélèvements

#### **I.4.3.1. Isolement**

L'isolement est effectué sur gélose Chapman.

L'isolement est réalisé par étalement à la surface des boîtes de pétri puis incubées à 37 °C pendant 24 heures.

Après incubation, les boîtes sont considérées comme positives si elles présentent des colonies caractéristiques de *Staphylococcus aureus* (colonies rondes à bords réguliers, lisses, bombées, jaune-doré avec un diamètre de 1 à 3 mm).

#### I.4.3.2. Purification des souches isolées

A partir des boîtes de Chapman présentant des colonies caractéristiques de *S.aureus*, des colonies sont prélevées puis ensemencées chacune par la technique des trois quadrants sur des boîtes contenant de la gélose cœur cervelle (BHIA). L'incubation est réalisée à 37°C/24 h. Les cultures pures obtenues feront l'objet d'une identification biochimique.

#### I.4.3.3. Identification

#### Coloration de Gram

C'est une coloration qui permet la distinction entre les bactéries à Gram positif colorées en violet et les bactéries à Gram négatif colorées en rose.

#### **Technique:**

On recouvre le frottis par le cristal violet pendant une minute.

On rince à l'eau et on recouvre la préparation par le Lugol pendant une minute.

On rince avec l'alcool (décoloration). La durée de cette étape est de 15-30 secondes.

On rince à l'eau et on recouvre la lame par la Fushine pendant une minute.

On rince à l'eau puis on sèche.

On ajoute une goutte d'huile à immersion puis on observe au microscope grossissement x100.

#### Lecture:

Les bactéries à Gram positif apparaissent en violet. Par contre, les bactéries à Gram négatif se décolorent par l'alcool et perdent alors la couleur violette ce qui leur permet de se colorer en rose.

#### > Test de la catalase

Le test de catalase permet de différencier entre les espèces bactériennes. A partir d'un isolement, une petite quantité de culture bactérienne est prélevée, pour chaque souche de

*S.aureus*, puis placée sur une lame qui contient une goutte de peroxyde d'hydrogène. Une réaction positive se traduit par un dégagement des bulles de gaz.

#### > Test de la coagulase

La coagulase est une protéine extracellulaire, permettant la différenciation des staphylocoques à coagulase positive (SCP) des staphylocoques à coagulase négative (SCN). Cette enzyme joue un rôle important dans le pouvoir pathogène de *S. aureus*.

Une culture bactérienne est préparée dans un bouillon BHIB, en prélevant quelques colonies caractéristiques de *S. aureus*. Dans un tube à hémolyse, 0,3ml de cette suspension bactérienne est mélangé avec le même volume du plasma de lapin. Le mélange est ensuite incubé à 37°C, la lecture est faite chaque 4 heures. La présence d'une coagulase se manifeste par la prise en masse du plasma (apparition d'un caillot).

#### > Test de l'ADNase

Certaines bactéries comme *S. aureus* sont capables d'hydrolyser l'ADN grâce à une enzyme : l'ADNase. Cette dernière est une enzyme qui décompose l'ADN (Acide Désoxyribonucléique) en H<sub>2</sub>O et nucléotides et l'utilise comme source de carbone et d'énergie pour la croissance.

La réaction catalysée est la suivante : quelques colonies issues d'une culture sur la gélose BHIA sont prélevées à l'aide d'une pipette Pasteur et sont ensemencées en stries large et centrale sur la surface de la gélose à ADN. Les boîtes sont ensuite incubées à 37°C pendant 24h. Après l'incubation, la révélation de l'ADNase est réalisée par ajout d'une solution d'HCl à 2N.

#### > Test de T.S.I

C'est un milieu d'identification rapide permettant de mettre en évidence la fermentation de glucose (avec ou sans dégagement gazeux), du saccharose, de lactose, et la production de  $H_2S$ . Elle consiste à ensemencer à l'aide d'une anse stérile la souche à identifier en tries serrées dans la pente de la gélose puis par piqûre centrale dans le culot.

La lecture se fait après 24 heures d'incubation à 37°C.

- La fermentation de glucose se traduit par le virage du culot au jaune.
- La fermentation du lactose et/ou du saccharose se traduit par le virage de la pente au jaune.
- La production de gaz se traduit par la formation de bulles de gaz au niveau de la gélose ou le décollement de celle-ci.
- La production de H<sub>2</sub>S se traduit par un noircissement du milieu.

#### ≻<u>Test de mannitol et de mobilité</u>

Le milieu mannitol-mobilité est utilisé pour déterminer la capacité des bactéries à fermenter le mannitol et de déduire la mobilité en même temps.

L'ensemencement se fait au moyen d'une anse par une simple piqûre centrale jusqu'au fond du tube. La lecture se fait après 24 heures d'incubation à 37°C.

- La fermentation du mannitol se traduit par un virage de couleur du rouge au jaune.
- La présence des colonies bactériennes au-delà de l'axe central signifie qu'elles sont mobiles, cependant leur présence uniquement au niveau de la piqûre centrale signifie qu'elles sont immobiles.

#### > Test d'utilisation du citrate

C'est un milieu utilisé pour la différenciation entre les bactéries. Il contribue à la mise en évidence des caractères d'identification.

Le principe du milieu repose sur l'aptitude de certains microorganismes à pouvoir se développer avec le citrate comme seule source de carbone et d'énergie. La métabolisation du citrate est visualisée par le virage de l'indicateur coloré au bleu.

- Ensemencer la pente du milieu au citrate en stries longitudinales et parallèles à l'aide d'une pipette, préalablement stérilisée à la flamme, à partir d'une colonie isolée prélevée sur gélose nutritive.
- Incuber à 37 °C pendant 24 heures.

Une réaction positive est indiquée par une croissance avec une couleur bleue intense dans l'inclinaison.

Une réaction négative est mise en évidence par l'absence de croissance à trace de croissance sans changement de couleur.

#### > Test d'Urée Indole

Le milieu Urée Indole permet la mise en évidence de l'uréase, du tryptophane désaminase et de la production d'indole (le milieu contribue à la mise en évidence des caractères d'identification des Entérobactéries).

Les bactéries possédant une uréase transforment l'urée en carbonate d'ammonium entraînant une alcalinisation qui provoque une coloration rouge violacé du milieu en présence de rouge de phénol (indicateur de pH). La production d'indole est mise en évidence par l'addition de réactif de Kovacs qui agit avec l'indole en donnant une coloration rouge dans la partie supérieure du milieu en cas de réaction positive.

#### I.4.3.4. Antibiogramme

molécules d'antibiotiques listés dans le tableau ci-dessous.

L'antibiogramme est un examen de laboratoire visant à déterminer la sensibilité d'une bactérie aux différents antibiotiques, en mettant en contact des bactéries avec plusieurs antibiotiques. Cette technique est consacrée à l'étude de l'antibio-résistance des souches vis-à-vis de quelques molécules d'antibiotiques réalisées selon la technique de diffusion des disques sur la gélose Mueller-Hinton selon les recommandations de la CLSI (*The clinical & laboratory standards institute*). Les souches de *S. aureus* isolés durant notre étude ont été testées vis-à-vis de 7

<u>Tableau I</u>: Liste des molécules d'antibiotiques testées sur les souches isolées.

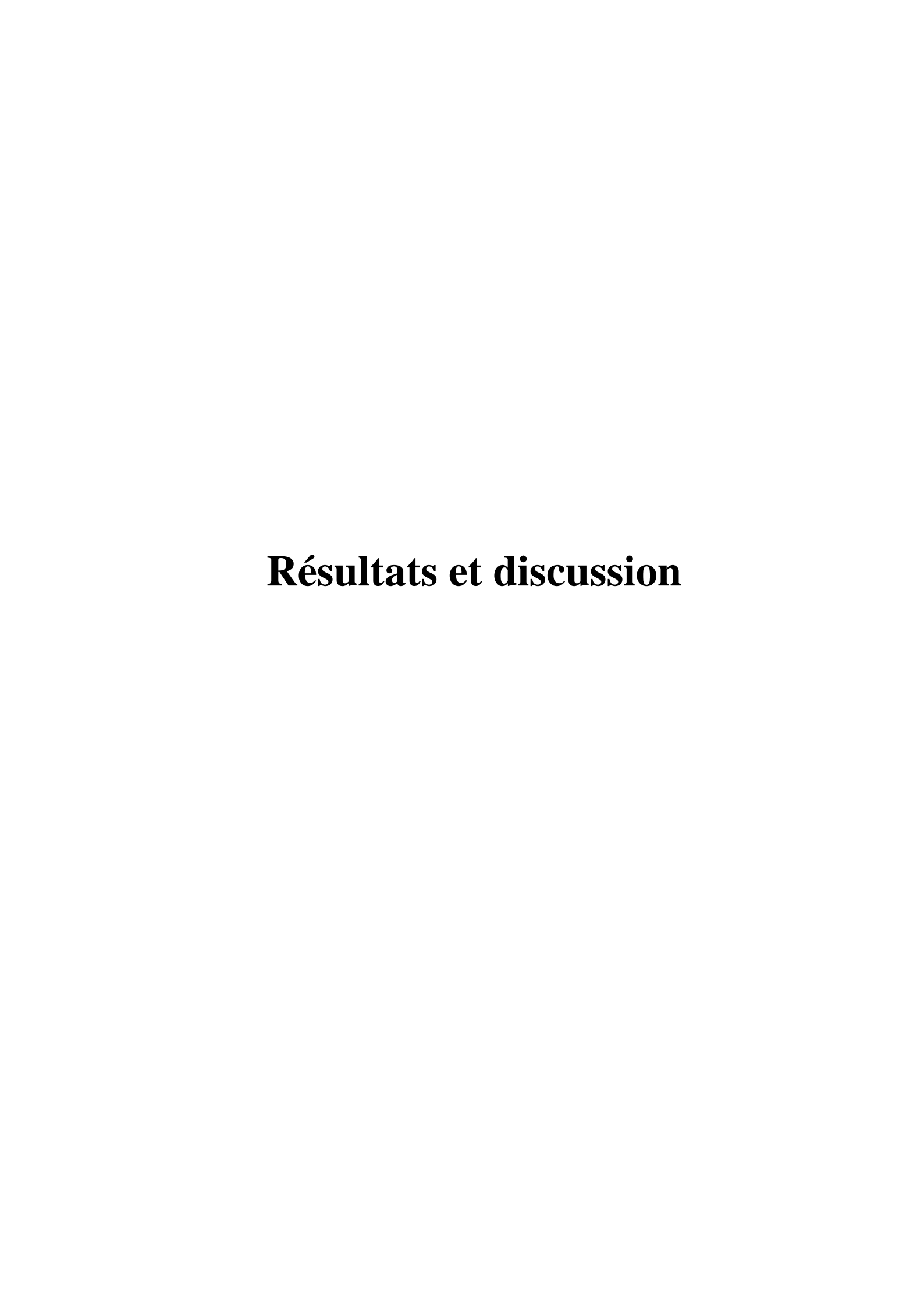
Antibiotique	Abréviation	Charge en µg	Marque
Pénicilline G	P	10 UI	bio_Discs, bioMérieux, France
Quinupristin, dalfopristin	Q	15	bio_Discs, bioMérieux, France
Erythromycine	Е	15	bio_Discs, bioMérieux, France
Cefoxitine	FOX	30	bio_Discs, bioMérieux, France
Tetracycline	TE	30	bio_Discs, bioMérieux, France
Gentamycine	CN	10	bio_Discs, bioMérieux, France
Chloramphénicol	С	30	bio_Discs, bioMérieux, France

Les souches à étudier sont repiquées sur la gélose BHIA, afin d'avoir des cultures jeunes. Une suspension bactérienne d'une densité optique comprise entre 0,08 et 0,13 (0,5MCFarland) est préparée à partir de cette culture jeune. L'antibiogramme est réalisé par la technique d'écouvillonnage, en appliquant des stries serrées sur toute la surface de la gélose Mueller Hinton. Ensuite, des disques d'antibiotiques sont appliqués à l'aide d'une pince stérile. L'incubation est faite à 37°C pendant 24 heures.

Après la lecture des zones d'inhibition, les souches sont classées en : souches sensibles, souches intermédiaires et souches résistantes, selon les recommandations du CLSI (2018).

#### I.4.3.5. Conservation des souches identifiées

Une fois que toutes les souches sont identifiées, elles sont repiquées sur gélose BHIA puis écouvillonnées et conservé dans des cryotubes de 1.8ml contenant 80% de bouillon cœur cervelle additionnée de 20% de glycérol puis placés à -20°C.



#### II.1. Résultats

#### II.1.1. Prévalence des Staphylococcus aureus

Au cours de notre étude, 37 prélèvements nasaux ont été effectués à partir des chevaux de la région de Tiaret, 23 souches présumées Staphylococcus *aureus ont été isolées*, et soumises aux différents tests biochimiques pour l'identification de l'espèce de *S. aureus*. Ainsi, 20 souches de *S. aureus* ont été confirmées à partir de 23 prélèvements positifs, ce qui fait une prévalence totale de 54,05%. Les résultats obtenus sont représentés dans le tableau :

<u>Tableau II :</u> prévalence de *staphylococcus aureus* isolées :

Nombre de prélèvements	isolat positive	Nombre de Staphylocoque à coagulase nagative	Nombre de S.aureus (à coagulase positive)
37	23	03(8,1%)	20 (54,05%)

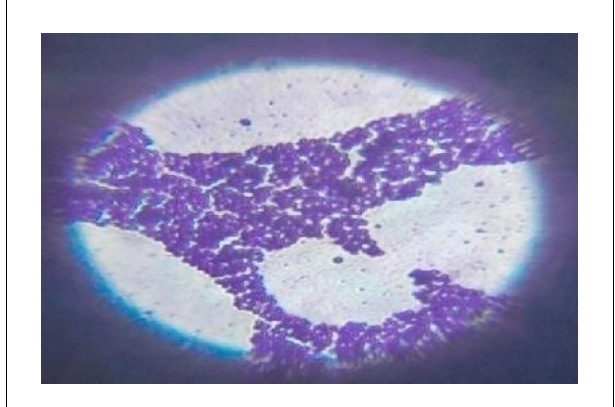


Figure 6: Coloration de Gram.



**Figure 7 :** Colonies pures du *S. aureus* sur milieu Chapman.



Figure 8: Test de l'ADNase.



Figure 9: Test de catalase.



Figure 10: Test de la coagulase.

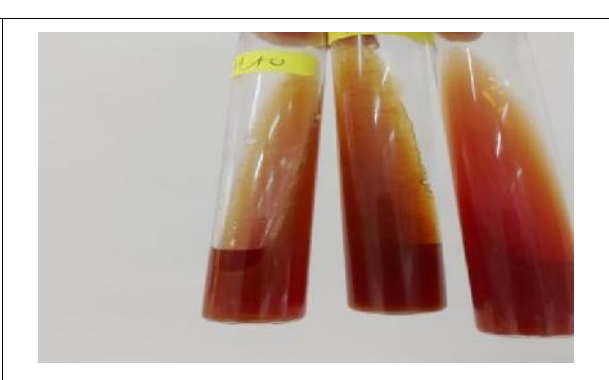


Figure 11: Test de TSI.



Figure 12 : test de citrate de simmons



Figure 13: Test de mannitol et de mobilité.



Figure 14 : Test de l'urée-indole.

#### II.1.2. Résistance des souches de S. aureus isolés aux antibiotiques

Les résultats obtenus montrent l'existence des résistances avec des taux variables, selon les molécules d'antibiotiques testées. En effet, le taux de résistance le plus élevé a été observé vis-àvis de la pénicilline (100%), tétracycline (45%), érythromycine (35%) et gentamycine (5%). Tandis qu'aucune résistance n'a été enregistrée à l'encontre des autres molécules, à savoir la céfoxitine et quinupristin-dalfopristin et le chloramphénicol. Les résultats obtenus sont présentés dans le tableau suivant :

**Tableau III**: Taux de résistance des souches de *S. aureus* isolés aux antibiotiques (n= 20).

Antibiotiques	Nombre et Taux de résistance (%)	Nombre et Taux de sensibilité (%)
P	20(100%)	0(0%)
TE	9(45%)	11(55%)
E	7(35%)	13(65%)
FOX30	0(0%)	20(100%)
Q	0(0%)	20(100%)
CN	1 (5%)	19 (95%)
C	0	20(100%)

P: Pénicilline G, FOX: Céfoxitine, E: Erythromycine, TE: Tétracycline, Q: Quinupristin-dalfopristin, CN: Gentamycine, C: Chloramphénicol.

#### II.1.2.1. Profil d'antibio-résistance des souches de S. aureus isolés

Huit souches (40%) présentent une résistance vis-à-vis d'une seule molécule d'antibiotique, huit autres souches (40%) sont résistantes vis-à-vis de deux molécules d'antibiotiques et trois souches (20%) sont résistantes vis-à-vis de trois molécules d'antibiotiques ou plus.

Tableau IV Profil d'antibio-résistance des souches de S. aureus isolés

Souche	Profil de résistance	Souche	Profil de résistance
H01	P	H11	P/TE
H02	P	H12	P/E/TE
Н03	P	H13	P
H04	P	H14	P
H05	P/E	H15	P/E/TE/CN
H06	P/E	H16	P
H07	P/TE	H17	P/E
H08	P/TE	H18	P/TE
H09	P/TE	H19	P/E/TE
H10	P	H20	P/E/TE

P: Pénicilline G, TE: Tétracycline, E: Erythromycine, CN: Gentamycine.



Figure 15: Profil de résistance des souches H08 et H02.

#### II.1.2.2. Profils de multirésistance des souches de S. aureus isolés

Dans cette étude, quatre souches multirésistantes ont été isolées sur un total de 20 souches isolées et deux phénotypes de multirésistance ont été observés.

**Tableau V :** Phénotypes de multirésistance.

Souche	Profils de résistance
H13/ H20 /H21	P/E/TE
H16	P/E/TE/CN

P: Pénicilline G, TE: Tétracycline, E: Erythromycine, CN: Gentamycine.

#### II.1.2.3. Prévalence de S. aureus résistant à la méthicilline (SARM)

Dans cette étude, la prévalence de *S. aureus* résistant à la méthicilline (SARM) est nulle, sur un total de 20 souches isolées, toutes les souches étaient des SASM.

#### II.2. Discussion

Staphylococcus aureus est un important pathogène bactérien opportuniste qui peut coloniser de manière asymptomatique aussi bien l'Homme et l'animal, c'est un agent infectieux émergent chez les chevaux (Saei et Safari, 2019, Karin et al., 2013). Il est connu pour sa capacité à développer une résistance aux agents antimicrobiens (Zhang et al., 2018).

Dans la région de Tiaret, aucune étude n'a été réalisée concernant le portage nasal de *S. aureus* chez les chevaux. De telles études pourraient fournir des informations importantes sur le plan épidémiologique. Parmi les 37 prélèvements nasaux effectués, nous avons pu isoler 23 souches parmi lesquelles 20 souches de *S. aureus*. Dans la région de Constantine, la prévalence du portage nasal de *S.aureus* a été en accord avec notre étude, en enregistrant une valeur de15.2% (**Agabou et al., 2017**), ainsi qu'au sud du Royaume Uni où le portage nasal de *S.aureus* est de 15% chez les chevaux en contact fréquent avec les humains, notamment ceux qui participent aux énervements sportifs(**Cuny et al., 2012**).

En Australie méridionale, un portage nasal de cette bactérie de 12% a été observé. En Italie plus précisément à Rome, une étude a révélé un portage nasal de l'agent bactérien de 15%, tandis que le taux le plus bas a été observé au Japon dans une région nommée Kyushu avec 10% (Barton, et al., 2018, Banche et al., 2019, Yildirim et al., 2021, Asai, et al., 2016). Ces différences pourraient être attribuées à des facteurs environnementaux, des pratiques d'élevage et des conditions d'hygiène, au nombre d'échantillons et à la technique d'identification (Sanda et Idris, 2021).

Nous avons testé 7 molécules d'antibiotiques sur les 20 isolats dans le but de déterminer leur profil d'antibio-résistance et de prédire la présence des souches multirésistantes. En effet, de fortes résistances ont été enregistrées vis-à-vis de la pénicilline G (100%). Ce taux est comparable à celui trouvé dans plusieurs autres études, qui rapportent également une résistance élevée à la pénicilline G chez les isolats équins de *S aureus* comme dans l'étude menée par Smith *et al.*(2019)aux États-Unis qui a montré une résistance de 98% à la pénicilline G, ce qui confirme que la production de pénicillinase est très répandue parmi les souches équines.

La pénicilline a été le premier antibiotique produit en masse à usage humain qui était auparavant très efficace contre les infections à *S. aureus*. Cependant, la plupart des souches de *S. aureus* sont désormais résistantes à la pénicilline (**Idris** *et al.*, **2023**).

De fortes résistances ont été aussi observées à l'encontre de l'érythromycine et la Tétracycline. Nous avons observé une résistance de 45% vis-à-vis de la tétracycline. D'autres études rapportent des taux de résistance variables, mais souvent élevés, à la tétracycline. Johnson *et al.* (2020) au Royaume-Uni ont trouvé une résistance de 50% chez les isolats équins, tandis que Garcia *et al.* (2018) en Espagne rapportaient un taux de résistance de 40%. Ces résultats sont en accord avec nos observations, suggérant une prévalence notable mais variable de résistance à la tétracycline.

Le taux de résistance à l'érythromycine était de 35%. Des études comparables montrent des taux similaires : Martin *et al.* (2017) en Allemagne ont trouvé un taux de résistance de 30%, tandis

qu'en Inde, Kumar *et al.* (2019) ont rapporté 37%. Cela indique une tendance commune de résistance modérée à l'érythromycine parmi les isolats équins de *S. aureus*.

De faibles résistances ont été observées à l'encontre de la gentamycine (5%). Nos résultats rejoignent ceux de Morris *et al.* (2016) aux États-Unis et Wendlandt *et al.* (2013) en Allemagne concernant des souches de *S. aureus* isolés de la cavité nasale chez les chevaux.

Dans notre étude, aucune résistance n'a été enregistrée à l'encontre de la céfoxitine, la quinupristine-dalfopristine et le chloramphénicol. Ces deux derniers sont interdits en médecine vétérinaire et réservés uniquement en médecine humaine.

L'apparition de bactéries devenues résistantes aux antibiotiques, notamment le SARM, représente une préoccupation majeure tant pour la santé humaine que pour la santé animale. En effet, plusieurs recherches ont mis en évidence la capacité du SARM à infecter et à provoquer des infections chez les animaux de compagnie et de ferme (**Petinaki** *et al.*, **2012**)

Toutes les souches isolées dans notre étude étaient des SASM. Nos résultats étaient en désaccord avec ceux de Kaiser *et al.* (2022) où le pourcentage de *S. aureus* résistants à la méthicilline SARM était de 8.4% parmi les échantillons prélevés en Suisse.

En Belgique, de faible résistance à la méthiciline (SARM) ont été enregistrés avec 1.2% dans l'étude de Van den Eede *et al.*, (2013).

Le taux de résistance aux antibiotiques élevé chez les chevaux indique un risque de transmission zoonotique des espèces de *S. aureus* multirésitantes (**Sanda et Idris, 2021**). Ainsi que la colonisation nasale par *S. aureus* peut être une source importante d'infection chez l'Homme et un facteur de risque pour des infections invasives (**Wertheim** *et al.*, 2005)

# Conclusion

Au cours de cette étude, vingt (20) souches de *S. aureus* ont été isolées à partir des chevaux dans la région de Tiaret avec une prévalence de 54.05,%.

L'étude de la résistance des isolats aux antibiotiques montre de fortes résistances pour l'ensemble des molécules testées. En effet, des taux de l'ordre de 100%, 45%, 35% ont été observés vis-à-vis de la pénicilline G, la tétracycline, l'érythromycine, respectivement. Toutes les souches étaient sensibles vis-à-vis de la gentamicine, le chloramphénicol et de la céfoxitine et le quinupristin-dalfopristine.

Bien que la prévalence des SARM était nulle, elle reste non négligeable car leur présence chez les chevaux pourrait constituer une menace pour la santé publique, *via* la transmission de ces souches aux humains.

Le problème mondial de la résistance aux antibiotiques est fortement associé à leur utilisation excessive tant dans le domaine médical humain que vétérinaire. Cela peut entraîner des complications dans le traitement des infections chez les humains et les animaux. Dans l'ensemble, ces constatations mettent en lumière l'importance de la surveillance continue de la résistance aux antibiotiques chez les chevaux et d'autres espèces animales, afin de guider les décisions cliniques et de santé publique pour assurer une utilisation prudente et efficace des antibiotiques.

Notre étude suggère les recommandations suivantes :

Étudier une population plus importante, pendant une période plus longue.

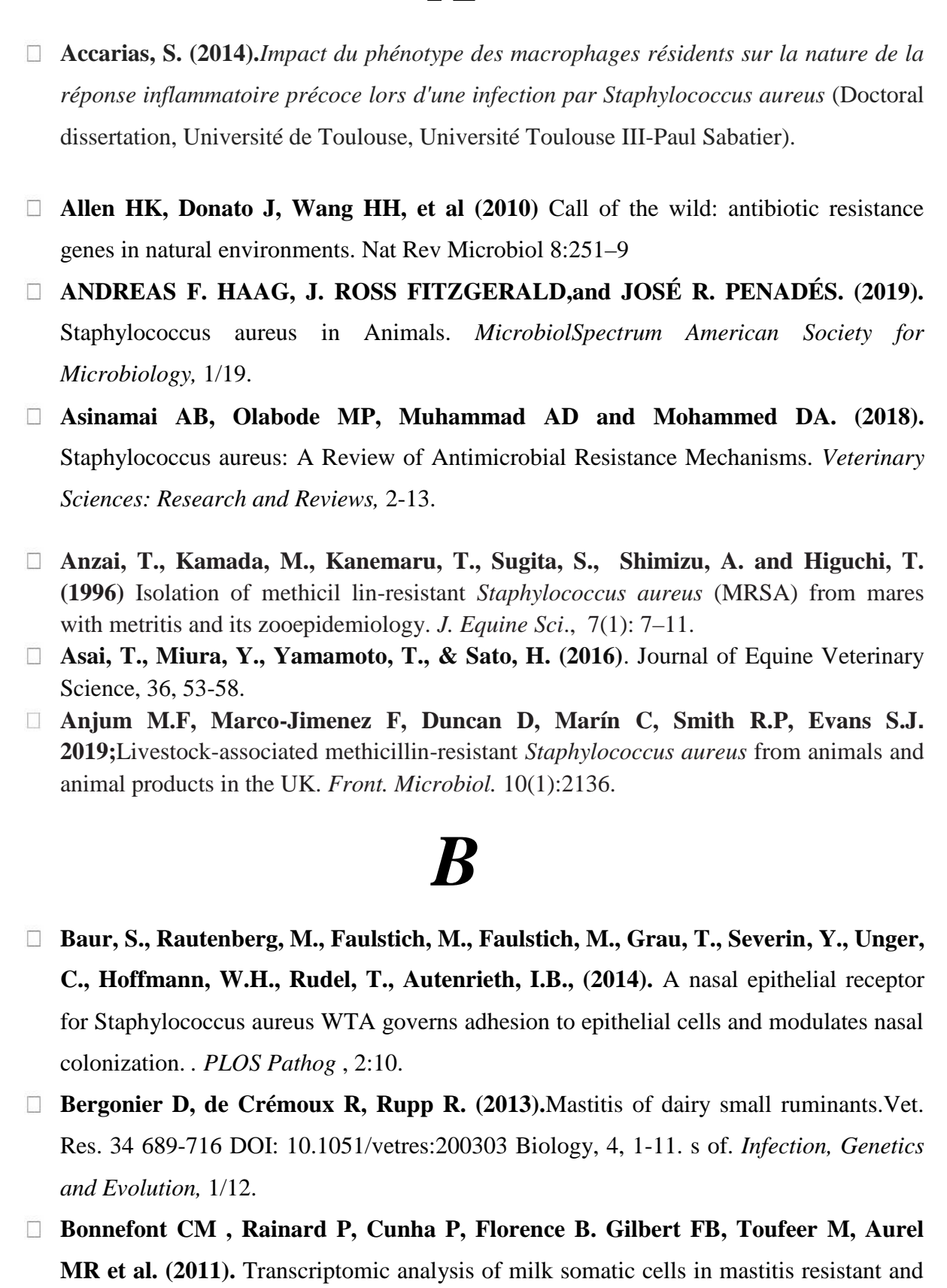
Effectuer un suivi sur la consommation des antibiotiques vétérinaires destinés au cheval.

Étudier la capacité des souches à former des biofilms.

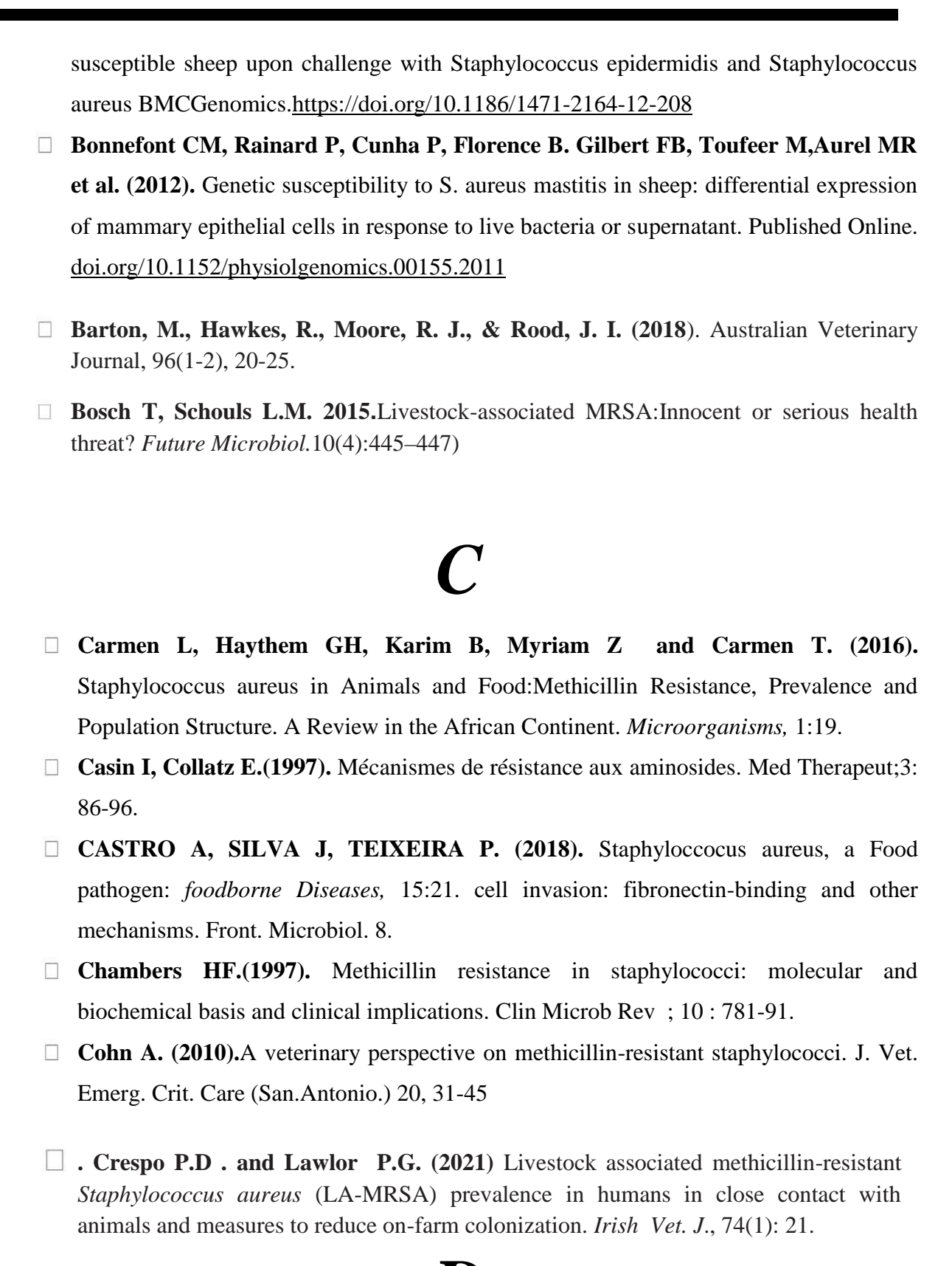
Mettre en place un réseau de surveillance d'infection à SARM.

# Références Bibliographiques

# $\pmb{A}$



#### Référence bibliographique



D

#### Référence bibliographique

Doyle MP (2006). Antimicrobial resistance: implications for the food system. Compr
Rev Food Sci Food Saf 5:71–137
Drew KA and Laura W. (2018). Decolonization of Staphylococcus aureus in
Healthcare: A Dermatology Perspective. <i>Journal of Healthcare Engineering</i> , 5:9.
Decline, V., Effendi, M.H., Rahmaniar, R.P., Yanestria, S.M. and Harijani, N. (2020) Profile of antibiotic-resistant and presence of methicillin-resistant <i>Staphylococcus aureus</i> from nasal swab of dogs from several animal clinics in Surabaya, Indonesia. <i>Int. J. One Health</i> , 6(1): 90–94.
<b>Dweba, C.C., Zishiri, O.T. and Zowalaty, M.E.</b> (2018)Methicillin-resistant <i>Staphylococcus aureus</i> : Livestock associated, antimicrobial, and heavy metal resistance. <i>Infect. Drug Resist.</i> , 11: 2497–2509.
$\boldsymbol{E}$
Elysia A , Gowrishankar M , Lananh Ho, Ann LG, James L. McGrath2, Hani A.
Awad, Karen L. Galloway, James L. McGrath, Hani A. Awad, Steven R. Gill,
and Edwa . (2021). Staphylococcus aureus Cell Wall. Frontiers in Microbiology, 2-16.
Effendi, M.H., Hisyam, M.A.M., Hastutiek, P. and Tyasningsih, W. (2019) Detection of coagulase gene in <i>Staphylococcus aureus</i> from several dairy farms in East Java, Indonesia, by polymerase chain reaction. <i>Vet. World</i> , 12(1): 68–71. Ertheim, H.F., Melles, D.C., Vos, M.C., VanLeeuwen, W, Van Belkum, A., Verbrugh, H.A. and Nouwen, J.L.(2005). The role of nasal carriage in Staphylococcusaureus infections

# $\boldsymbol{F}$

Fukunaga, B.T., Sumida, W.K., Taira, D.A., Davis, J.W. and Seto, T.B. (2016)Hospital-acquired methicillin-resistant *Staphylococcus aureus* bacteremia related to medicare anti biotic prescriptions: A state-level analysis. *Hawaii J. Med. Public Health*, 75(10): 303–309

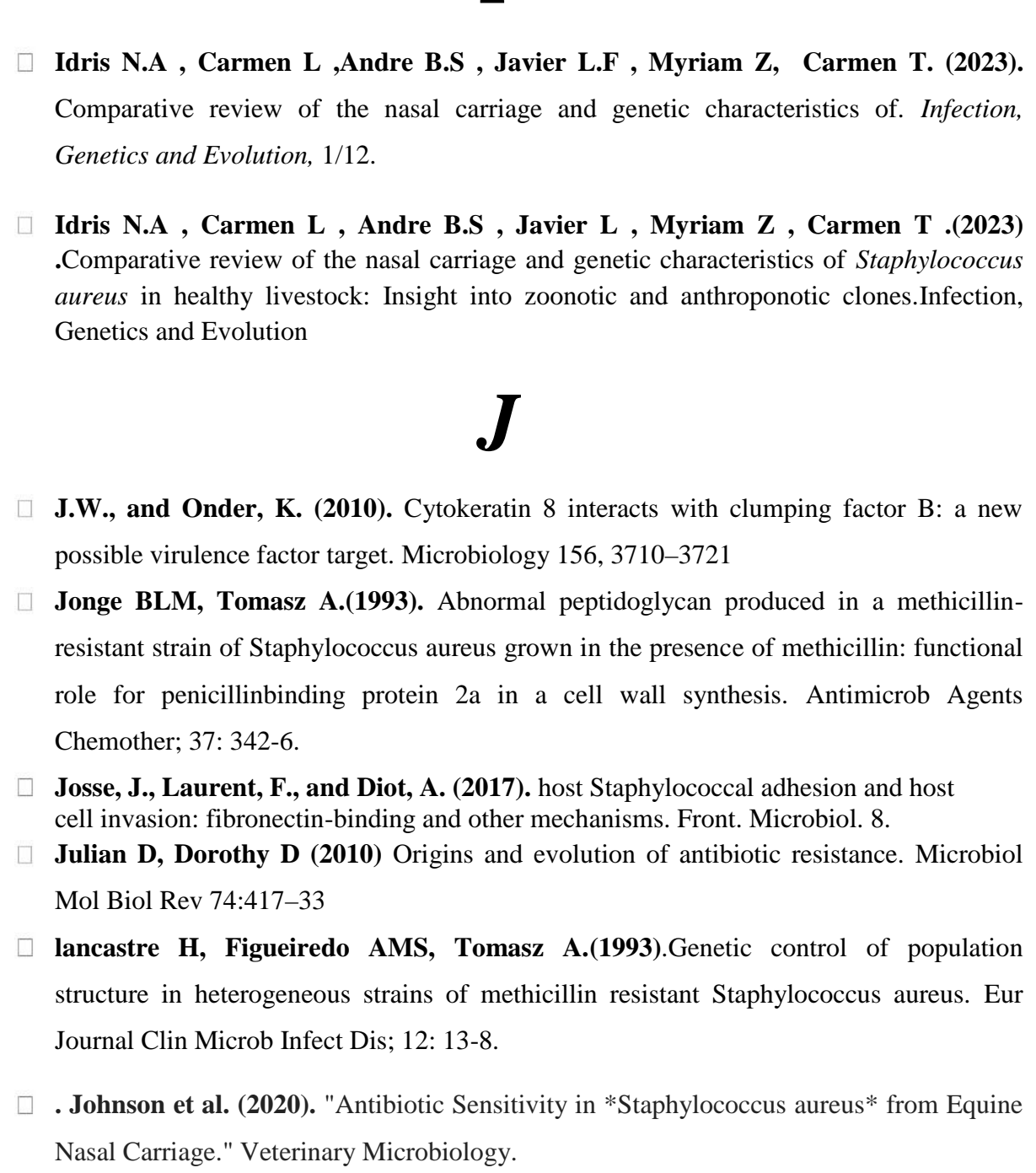
# G

<b>García A.</b> (2011). Meticillin-resistant Staphylococcus aureus with a novel mecA homologue in human and bovine populations in the UK and Denmark: a descriptive study. Lancet. Infect. Dis. 11, 595-603
GIUDICE, Pascal D . (2020). Skin Infections Caused by Staphylococcus aureus.
Centenary theme section: CUTANEOUS AND GENITAL INFECTIONS, 208(1/8).
Gordon Y. C., Cheung and Michael O. (2023). Virulence Mechanisms of
Staphylococcal Animal Pathogens. <i>International Journal of Molecular Sciences</i> , 3-24.
Gordon Y. C. Cheung, Justin S. Bae, and Michael O . (2021). Pathogenicity and
virulence of Staphylococcus aureus. Informa UK Limited, trading as Taylor & Francis
<i>Group</i> , 2-23.
.Garoy, E.Y., Gebreab, Y.B., Achila, O.O., Tekeste, D.G., Kesete, R., Ghirmay, R.,
Kiflay, R. and Tesfu, T. (2019) Methicillin-resistant Staphylococcus aureus (MRSA):
prev alence and antimicrobial sensitivity pattern among patients a multicenter study in
Asmara, Eritrea. Can. J. Infect. Dis. Med. Microbiol., 1: 8321834.
<b>Gopal, S. and Divya, K.C. (2017)</b> Can methicillin-resistant <i>Staphylococcus aureus</i> prevalence from dairy cows in India act as a potential risk for community-associated infections? A review. <i>Vet. World</i> , 10(3): 311–318.
Garcia et al. (2018). "Resistance to Commonly Used Antibiotics in Equine
*Staphylococcus aureus*." Equine Veterinary Journal.
<b>Gopal S, Divya K.C.(2017).</b> Can methicillin-resistant <i>Staphylococcus aureus</i> prevalence from dairy cows in India act as a potential risk for community-associated infections? A
review. Vet. World.;10(3):311–318.)
$oldsymbol{H}$
Haim, M., Trost, A., Maier, C.J., Achatz, G., Feichtner, S., Hintner, H.,
Bauer, Haley, K.P., and Skaar, E.P. (2012). A battle for iron: host sequestration
. Harijani, N., Wandari, A., Effendi, M.H. and Tyasningsih, W. (2020) Molecular

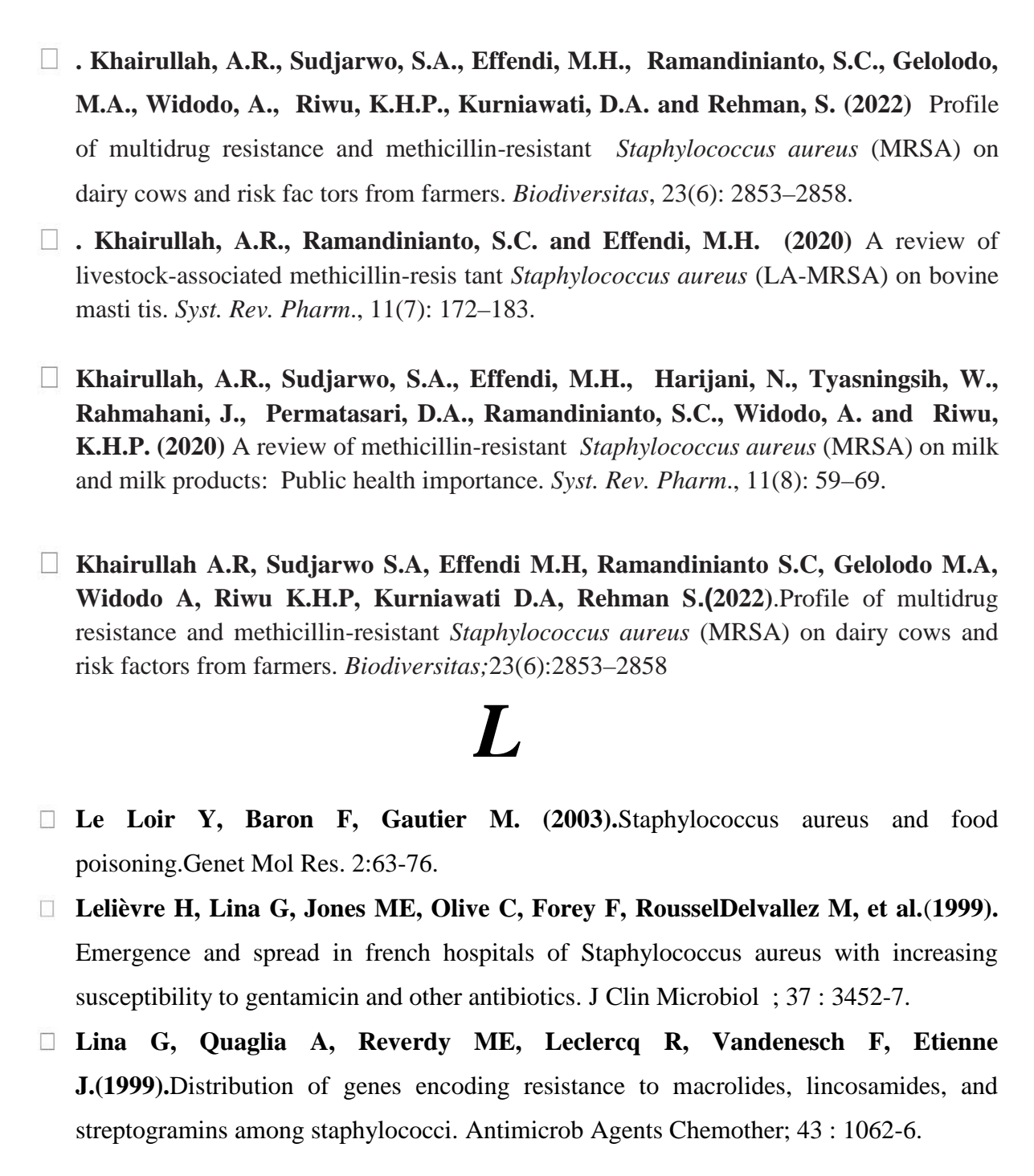
detection of encoding enterotoxin C gene and profile of antibiotic-resistant on

Staphylococcus aureus isolated from several dairy farms in East Java, Indonesia. *Biochem. Cell. Arch.*, 20(1): 3081–3085.

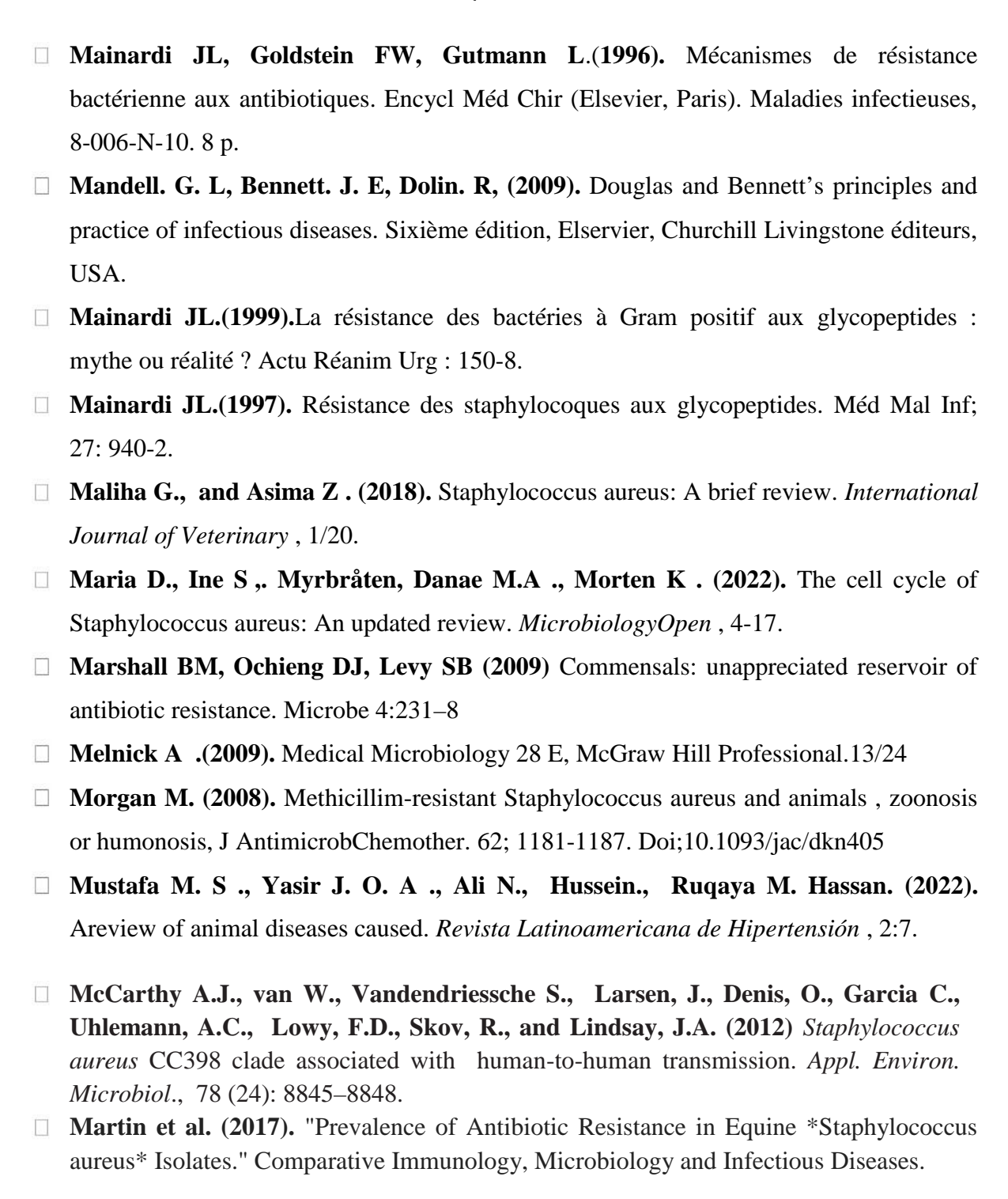
# I



# K



# M



- ☐ Marchambault, H. Dick P. Hearn B.N. Kreiswirth B. Salim A. McGeer, Y. Likhoshvay J.F. Prescott D.E. Low, and B.M. Willey.(2019). Methicillin-resistant Staphylococcus aureus in horses. A public health risk?", Journal of Equine Veterinary Science, 15/22
- Mehndiratta P.L, Bhalla P.(2014). Use of antibiotics in animal agriculture and emergence of methicillin-resistant *Staphylococcus aureus* (MRSA) clones: Need to assess the impact on public health. *Indian J. Med. Res*; 140(3):339–344

# P

- pasteur.(2017).Staphylococcus aureus, NorC, through a single-domain camelid antibody. Communications 14, 217–227.
- PeacockSharon R , Gavin K .(2015). Mechanisms of Methicillin Resistance in Staphylococcus aureus. Annu. Rev. Biochem. 84, 577-601
- **Peton V, Le Loir Y. (2014).**Staphylococcus aureus in veterinary medicine.Infect Genet Evol. 21:602-15. doi: 10.1016/j.meegid.2013.08.011
- Pinho MG, De Lencastre H et Tomasz A. (2000). Cloning, Characterization, and Inactivation of the Gene pbp C, Encoding Penicillin-Binding Protein 3 of Staphylococcus aureus. J. Bacteriol. 182:1074-1079.
- Price Whelan A., Poon C.K., Benson M.A., Eidem T.T., Roux C.M., Boyd J.M., Dunman P.M., Torres T.A. (2013). Transcriptional Profiling of Staphylococcus aureus During Growth in 2 MNaCl Leads to Clarification of Physiological Roles for Kdp and Ktr K+ Uptake Systems. mBio, 4:10.
- Ranjan, R. Penmasta A. (2021). Structural basis of inhibition of a transporter from
- Riedel S., Morse S. A., MIETZNER T. A. MILLER S. (2019). Jawetz
- Roberts M, Sutcliffe J, Courvalin P, Jensen LB, Rood J, Seppala H.(1999).
   Nomenclature for macrolide and macrolide-lincosamide-streptogramin B resistance determinants. Antimicrob Agents Chemother;43: 2823-30.
- Roger A., Frederick C., MillerMd., Phillip S., Coburn and Michelle C. Callegan. (2019). An Eye on Staphylococcus aureus Toxins: Roles in Ocular Damage and Inflammation. *toxins*, 2-18.

## Référence bibliographique

Ryffel C, Kayser FH, Berger B.B. (1992). Correlation between regulation of mecA
transcription and expression of methicillin resistance in staphylococci. Antimicrob
Agents Chemother 1992; 36: 25-31.
. Pannewick B., Baier C., Schwab F., and Vonberg R.P. (2021). Infection control measures in nosocomial MRSA outbreaks results of a systematic analysis. <i>PLoS One</i> , 16(4): e0249837.
$\boldsymbol{R}$
<b>Reichmann N.T., and Pinho M.G.,</b> (2017). Role of SCCmec type in resistance to the synergistic activity of oxacillin and cefoxitin in MRSA. <i>Sci. Rep.</i> , 7(1): 6154.
Rahmaniar R.P., Yunita M.N., Effendi M.H. and Yanestria, S.M. (2020). Encoding gene for methicillin-re sistant <i>Staphylococcus aureus</i> (MRSA) Isolated from nasal swab of dogs. <i>Indian Vet. J.</i> , 97(2): 37–40.
<b>Reichmann N.T. and Pinho M.G. (2017),</b> Rahmaniar, R.P., Yunita, M.N., Effendi, M.H. and Yanestria, S.M.
$\boldsymbol{S}$
SENATORE, Baptiste. (2022). Staphylococcus aureus producteurs de toxines. Une
année d'observation au Centre Hospitalier Universitaire de CAEN. Préparée au sein de
l'Université de Caen Normandie : thése de doctoret.
Shahin A, and Mahsa J. (2017). Assessment the Frequency of Staphylococcus aureus Golden MethicillinResistant (MRSA) and Vancomycin-Resistant VRSA in Determining
the. Immunological Disorders and immnunotherapy, 1/4.
Sieradzki K, Pinho MG, Tomasz A. (1999). Inactivated pbp4 in highly glycopeptide-
resistant laboratory mutants of Staphylococcus aureus. J Biol Chem; 274 : 18942-6.
Springman AC, Lacher DW, Milton GWN. (2009). Selection, recombination, and
virulence gene diversity among group B streptococcal genotypes. J Bacteriol 191:5419-
27 18. Giedraitiene A, Vitkauskiene A, Naginiene R, et al (2011) Antibiotic resistance
mechanisms of clinically important bacteria. Medicina 47:137–46

## Référence bibliographique

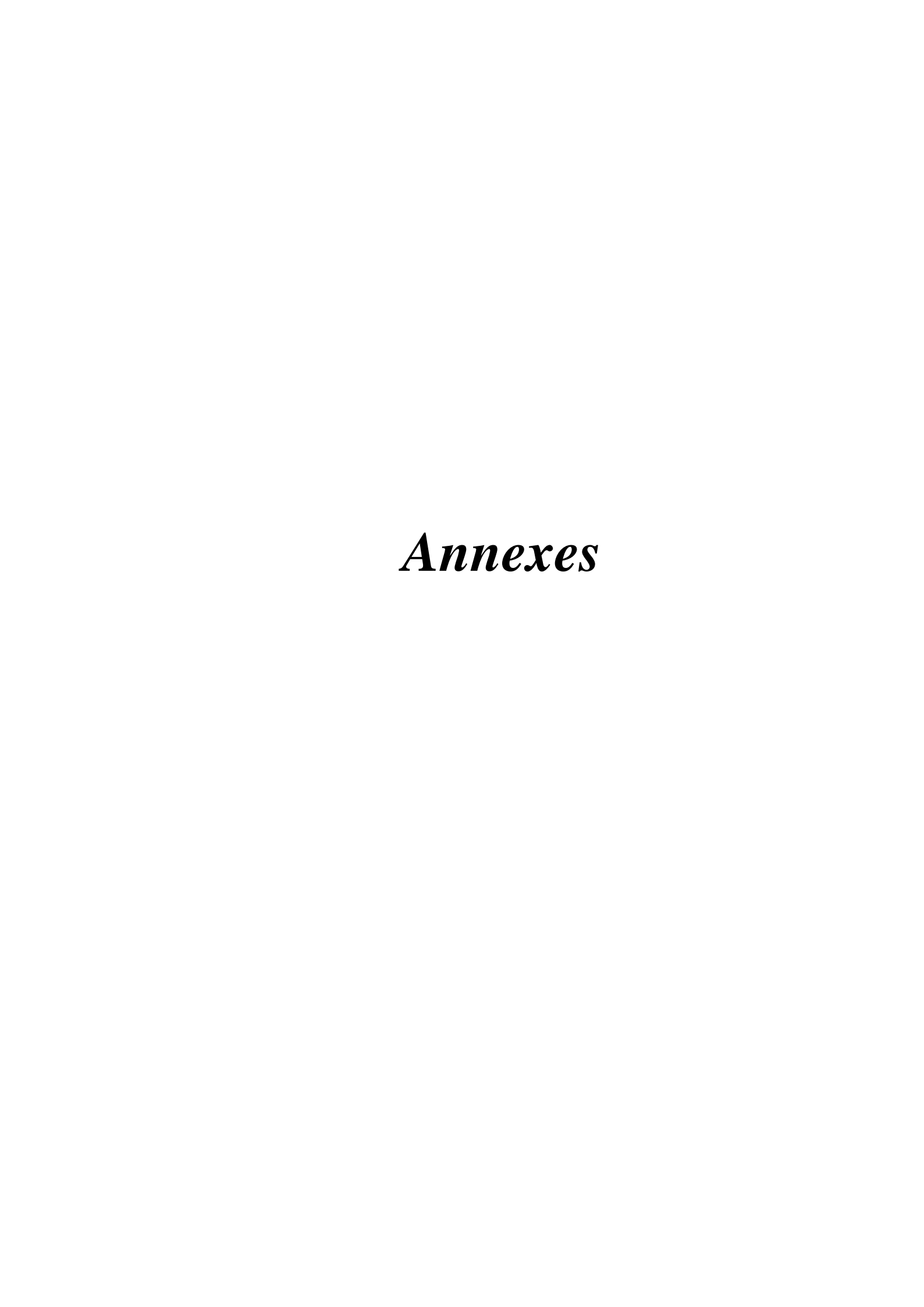
<b>Smith.</b> (2019). "Antimicrobial Resistance Patterns in Equine *Staphylococcus aureus* Isolates." Journal of Veterinary Medicine.
Sanda, M. and Idris, A. M. (2021). Nasopharyngeal Carriage of <i>Staphylococcus aureus</i> among Horses and Horse Handlers in Kano Metropolis, Nigeria. UMYU Journal of Microbiology Research.
$\boldsymbol{T}$
<b>Taylor TA, Unakal CG. (2023).</b> Staphylococcus aureus Infection. <i>StatPearls Publishing</i> , 2;10.
<b>Touaitia.</b> (2016). Staphylococcus aureus résistant à la méthicilline : Emergence et mécanismes de résistance. Univrsite Badji Mokhtar–Annaba, UNIVRSITE BADJI MOKHTAR – ANNABA-Algérie: THESE Présentée en vue de l'obtention du diplôme de Doctorat.
Turner N.A., Sharma B.K., Maskarinec S.A., Eichenberger E.M., Shah P.P., Carugati M., Holland T.L. and Fowler V.G. (2019) Methicillin-resistant Staphylococcus aureus: An overview of basic and clinical research. Nat. Rev. Microbiol., 17(4): 203–218.
Valero A., Pérez F., Carrasco E., Fuentes J.M., García R.M., Zurera G., (2009). Modelling the growth boundaries of Staphylococcus aureus: Effect of temperature, pH and water. <i>International Journal of Food Microbiology</i> , 133, 186–194.
Valour F., Rasigade J. P., Trouillet S., Gagnaire, J., Bouaziz A., Karsenty J. et al. (2015). Delta-Toxin Production Deficiency in Staphylococcus Aureus: A Diagnostic Marker of. <i>Clinical Microbiology and Infection</i> , 6-21.
Van D, Martens A, Flore B, Denis C, Gasthuys A, Haesebrouck D.A., Van DK. Hermans.(2013). MRSA carriage in the equine community: An investigation of horse-caretaker couples. Veterinary Microbiology.

# W

- □ Wmouton J; Tasse J; Bietrix A; Jammot M; Haenni M; Bes H. Meugnier J-Y; Sallé C; Dupieux F. Laurent.(2016). Etude épidémiologique des souches de colonisation nasale de Staphylococcus aureus chez les équidés dans 41 centres équestres et élevages français, Jeudi 17 mars 2016, Centre National de Référence des Staphylocoques, France; Centre International de recherche en Infectiologie Inserm U1111; Hospices Civils de Lyon, Lyon, FRANCE 2 ANSES Lyon
- □ Weese JS. (2010). Methicillin-resistant Staphylococcus aureus in animals.ILAR J. 51:233-44.
- □ **Wendlandt S. (2013).** "Antimicrobial resistance in staphylococci from horses, with a focus on resistance to macrolide-lincosamide-streptogramin." Vet Microbiol

# y

- □ Yunita M.N., Effendi M.H., Rahmaniar R.P., Arifah S. and Yanestria S.M. (2020) Identification of spa gene for strain typing of methicillin-resistant *Staphylococcus aureus* (MRSA) isolated from nasal swab of dogs. *Biochem. Cell. Arch.*, 20(1): 2999–3004.
- ☐ **Yildirim.** (2021). Prevalence and antimicrobial resistance of Staphylococcus aureus isolated from horses in Turkey", Journal of Veterinary Science.



#### **Annexes**

# **Annexes 1 :** Milieux de culture utilisés et leur composition Milieu Chapman La formule théorique de ce milieu de culture en g/L d'eau purifiée est : Extrait de viande (bovin ou porcin).....1g Peptone de caséine et de viande (bovin et porcin)......10g Chlorure de sodium......75g Mannitol......10g Agar......15g Rouge de phénol......0,025g pH=7,6.**Préparation :** 111g par litre d'eau distillée. Stérilisation à l'autoclave : 15 minutes à 120°C Gélose BHI (Brain Heart Infusion) Composition en g/l Peptone pancréatique de gélatine ......10g Chlorure de sodium ......5g Phosphate disodique......2.5g Glucose......2g PH du milieu prêt à l'emploi 7.4 +/- 0.2 à 25°C Préparation : mettre en solution 37g de milieu BHI déshydraté dans 11 d'eau distillée. Agiter lentement jusqu'à dissolution complète, répartir le milieu dans des flacons puis stériliser à l'autoclave pendant 15 minute à 120°C Gélose à ADN ADN ......2g NaCl ......5g

Préparation : 39 g par litre d'eau distillée. Stérilisation à l'autoclave à 120°C pendant 15 mn.

Gélose......1.2g

#### **Annexes**

#### Gélose Muller Hinton

5g
g
g

Préparation : 37g par litre d'eau distillée. Stérilisation à l'autoclave à  $120^{\circ}\text{C}$  pendant 15 mn.